Zeitschrift: Eclogae Geologicae Helvetiae

Herausgeber: Schweizerische Geologische Gesellschaft

Band: 75 (1982)

Heft: 2

Artikel: Sedimentpetrographie und Lithostratigraphie der Molasse im

Einzugsgebiet der Langete (Aarwangen-Napf, Oberaargau)

Autor: Maurer, Heinz / Gerber, Martin E. / Nabholz, Walter K.

DOI: https://doi.org/10.5169/seals-165235

Nutzungsbedingungen

Die ETH-Bibliothek ist die Anbieterin der digitalisierten Zeitschriften auf E-Periodica. Sie besitzt keine Urheberrechte an den Zeitschriften und ist nicht verantwortlich für deren Inhalte. Die Rechte liegen in der Regel bei den Herausgebern beziehungsweise den externen Rechteinhabern. Das Veröffentlichen von Bildern in Print- und Online-Publikationen sowie auf Social Media-Kanälen oder Webseiten ist nur mit vorheriger Genehmigung der Rechteinhaber erlaubt. Mehr erfahren

Conditions d'utilisation

L'ETH Library est le fournisseur des revues numérisées. Elle ne détient aucun droit d'auteur sur les revues et n'est pas responsable de leur contenu. En règle générale, les droits sont détenus par les éditeurs ou les détenteurs de droits externes. La reproduction d'images dans des publications imprimées ou en ligne ainsi que sur des canaux de médias sociaux ou des sites web n'est autorisée qu'avec l'accord préalable des détenteurs des droits. En savoir plus

Terms of use

The ETH Library is the provider of the digitised journals. It does not own any copyrights to the journals and is not responsible for their content. The rights usually lie with the publishers or the external rights holders. Publishing images in print and online publications, as well as on social media channels or websites, is only permitted with the prior consent of the rights holders. Find out more

Download PDF: 01.12.2025

ETH-Bibliothek Zürich, E-Periodica, https://www.e-periodica.ch

Sedimentpetrographie und Lithostratigraphie der Molasse im Einzugsgebiet der Langete (Aarwangen-Napf, Oberaargau)¹)

Von Heinz Maurer²), Martin E. Gerber²) und Walter K. Nabholz²), mit einem Beitrag von Hanspeter Funk³)

ZUSAMMENFASSUNG

Die bis anhin lithostratigraphisch gegliederten Molasseabfolgen im Einzugsgebiet der Langete wurden sedimentpetrographisch untersucht. Unterschiedlicher Schwermineral-, Leichtmineral- und Karbonatgehalt sowie verschiedenartiger Geröllbestand in den Nagelfluhhorizonten gestatten Zuordnungen zu den jeweiligen Stufen.

Mittels der Schwerminerale ist für das «Chattien» eine detaillierte Einteilung in verschiedene Schwermineralprovinzen möglich. Vom «Chattien» zum «Aquitanien» tritt eine Umgestaltung im Schwermineralspektrum ein, indem der Apatit vom Epidot abgelöst wird. Letzterer setzt sich bis in das «Tortonien» fort.

Bei den Leichtmineralen zeigt sich im «Chattien» eine Quarzdominanz, die im «Aquitanien» durch den Abtrag granitischen Materials zu einer Feldspatdominanz umschlägt.

Die Karbonatgehalte liegen für das «Chattien» und das «Tortonien» durchwegs höher als für das «Aquitanien», das «Burdigalien» und das «Helvétien». Als Ursache wird ein primär erhöhtes Angebot von Karbonaten angenommen.

Aus der verschiedenartigen Zusammensetzung des Geröllbestandes ergeben sich Hinweise auf das Hinterland, das der Erosion frei lag. So weist die Nagelfluh an der Wende «Aquitanien»-«Burdigalien» einen erhöhten Kristallinanteil auf. In den jüngeren lithostratigraphischen Einheiten sind es hauptsächlich Sedimentgesteine, die als Gerölle vorliegen.

Durch die sedimentpetrographische Untersuchung der Bohrung von Wynau und der Erdölbohrung von Altishofen 1 war es uns möglich, neue paläogeographische Erkenntnisse zu erzielen: So wird das Untersuchungsgebiet zur Zeit der USM von einer axialen Genfersee-Schüttung sowie den radialen Schüttungen (Thunersee-, Entlebuch-, chattische Napf- und aquitane Napf-Schüttung) beliefert. Einflüsse einer aus dem Nordwesten stammenden Schüttung, der Jura-Schüttung, sind im tieferen «Chattien» vorhanden.

ABSTRACT

The formerly lithostratigraphically classified Molasse sequences of the drainage basin of the Langete river have been subjected to sedimentpetrographical analyses. Study of the heavy and light minerals, determination of carbonate content and the petrology of the clasts occurring in the various Nagelfluhhorizons have resulted in a considerable increase of knowledge regarding the above sequences.

In the Chattian various *heavy mineral* provinces can be delineated. Between the Chattian and Aquitanian a marked difference is shown in the heavy mineral spectrum. Epidote replaces apatite which was characteristic in the Chattian. Epidote is present in the sediments up to the Tortonian.

¹) Wir danken dem Schweizerischen Nationalfonds zur Förderung der wissenschaftlichen Forschung, der uns die Untersuchungen ermöglichte.

²) Geologisches Institut der Universität Bern, Baltzerstrasse 1, CH-3012 Bern.

³) Geologisches Institut der ETH Zürich, ETH-Zentrum, CH-8092 Zürich.

In the *light fractions* the dominance of quartz is significant in the Chattian sediments, whereas in the Aquitanian an influx from granitic source materials results in feldspar becoming dominant. The *carbonate content* of the Chattian and Tortonian sediments is higher than that of the Aquitanian, Burdigalian and Helvetian. The possible explanation of this is primarily an enriched carbonate supply.

The petrology of the Nagelfluh-clasts made it possible to draw inferences regarding the lithology of their hinterland. This analysis indicated that at the turn of Aquitanian-Burdigalian the Nagelfluh contained a high amount of crystalline material, whereas in the younger sequences the clasts are mainly of sedimentary origin.

The sedimentology of the Wynau-borehole and that of the Altishofen-1 oilborehole provided new knowledge regarding *paleogeography:* At the time of the deposition of the USM the sediments of the study area were supplied by an axial, Genfersee-fan and radially oriented fans (Thunersee-, Entlebuch-, Chattian Napf- and Aquitanian Napf-fan). Transport from a northwesterly oriented fan, the Jura-fan, can be traced in the lowermost Chattian.

INHALTSVERZEICHNIS

| 1. Einleitung | 382 |
|--|-----|
| 2. Methodik | 384 |
| 3. Korngrössenanalysen | 384 |
| 4. Karbonatgehalt | 389 |
| 5. Leichtminerale | 389 |
| 6. Schwerminerale | 390 |
| 7. Sedimentpetrographische Untersuchungen an Sandproben der Langete | 392 |
| 8. Statistische Auswertung der Molasseproben | 395 |
| 9. Geröllanalysen | 401 |
| 10. Sedimentpetrographie der Bohrung Altishofen 1 | 401 |
| 11. Beziehungen zwischen Lithologie und Sedimentpetrographie | 406 |
| 12. Schwermineralogischer Vergleich der Bohrungen Altishofen 1 und Wynau mit der Bohrung | |
| Ruppoldsried 1 | 409 |
| 13. Paläogeographische Schüttungsverhältnisse | 409 |
| Literaturverzeichnis | 412 |

1. Einleitung

Die Langete, nach der die Ortschaft Langenthal benannt ist, entspringt in der Oberen Süsswassermolasse der Hügellandschaft südlich Huttwil, die zur Nordabdachung des Napfs gehört. Von Huttwil (640 m) schlängelt sie sich auf breitem und flachem Talboden in weitgehend unkorrigiertem Lauf bis Langenthal (480 m). Dieser Talabschnitt quert von oben nach unten die Obere Meeresmolasse (OMM) mit «Helvétien» und «Burdigalien» und erreicht 3 km südlich Langenthal die quer zum Tallauf streichende Zone der Unteren Süsswassermolasse (USM) mit dem «Aquitanien». Erst kurz vor der Mündung der Langete in die Aare (410 m) wird das «Chattien» angeschnitten (vgl. Fig. 1 und Tab. 1).

Das Einzugsgebiet dieses kleinen, quer zum Mittelland verlaufenden Flusses verlockte uns zu sedimentpetrographischen Untersuchungen. Dabei war es uns von Anfang an klar, dass wir uns an eine recht mühevolle Aufgabe heranwagten: Neuentdeckungen von grosser Tragweite waren nicht zu erwarten, und die schlechten Aufschlussverhältnisse im flachen Mittelland bildeten eine zusätzliche Erschwernis. Gerade wegen dieser negativen Voraussetzungen machten wir uns an den Versuch, die bis anhin nach rein lithologischen Kriterien vorgenommene Einteilung der mittelländischen Molasse zu verfeinern, indem sie durch ihren Gehalt an

Schwer- und Leichtmineralen, durch den Karbonatgehalt, durch Korngrössenanalyse und durch Geröllzählungen näher charakterisiert wird.

Zu Beginn unserer Untersuchungen erfassten wir mit einem Probennetz die rezent angeschwemmten Sande der Langete und ihrer Zubringerbäche. Die Unterschiede ihrer sedimentpetrographischen Zusammensetzung waren so gering, dass wir zu Probenmaterial aus der anstehenden Molasse übergingen, deren lithostratigraphischer Aufbau in groben Zügen bekannt war. Diese Kenntnis geht in der Hauptsache auf die unpublizierten Originalkartierungen 1:25 000 zurück, die A. Erni bis 1912 im Auftrag der Schweizerischen Geologischen Kommission für die 2. Auflage des Blattes VIII der Geologischen Dufourkarte der Schweiz, 1:100 000, ausgeführt hatte. Aber auch die Proben aus der anstehenden Molasse zeigten abgesehen von der untersten Stufe des «Chattien» - so geringfügige Unterschiede, dass bestimmte Merkmale für das «Tortonien», «Helvétien», «Burdigalien» und «Aquitanien» nur mittels statistischer Methoden gefunden werden konnten, indem für jede «Stufe» ein sedimentpetrographischer Mittelwert gebildet wird. Die detritischen Molasseabfolgen unseres Untersuchungsgebietes gehören vom «Aquitanien» an ausschliesslich zur Napf-Schüttung. Dies erklärt ihre weitgehende Einförmigkeit, einerlei, ob sie fluvioterrestrisch («Aquitanien» und «Tortonien») oder in ein flaches Meer (Obere Meeresmolasse) geschüttet wurden.

Das «Chattien» im Liegenden des «Aquitanien» ist unterhalb Langenthal äusserst schlecht aufgeschlossen. Erst die 1980 niedergebrachten Bohrungen bei Wynau gaben uns die Möglichkeit, die sedimentpetrographischen Untersuchungen auf die tieferen Anteile der Unteren Süsswassermolasse auszudehnen. Über das «Chattien» standen uns gut fundierte lithologische Kenntnisse zur Verfügung, die es erlaubten, die sedimentpetrographischen Resultate der Bohrungen von Wynau zu interpretieren. Wichtige Hinweise für den grossregionalen Rahmen und für die Paläogeographie ergaben sich ferner aus unseren Untersuchungen an Kernmaterial der Bohrung Altishofen 1.

Tabelle 1: Korrelation von Lithostratigraphie und Sedimentpetrographie in den jeweiligen informalen Stufen.

| Lithostratigraphische Einheiten (Stufen informal ver- wendet) | Fazielle Gliederung | Lithostratigraphische Gliederung der "OMM (Leithorizonte nach Ed. GERBER "1950) | Sedimentpetrographische Gliederung der Bohrung Altishofen 1 | Lithostratigraphische Gliederung des Ge- biets von Wynau |
|--|------------------------|--|---|--|
| "TORTONIEN" | OSM | | | |
| "HELVÉTIEN" | ОММ | Lh 4 | | |
| "BURDIGALIEN" | | Lh 2a Lh 1a Lh 1 | E3.4 | |
| "AQUITANIEN " | | | | Obere bunte Molasse |
| | USM | | _ | Kalksandstein-Serie |
| "CHATTIEN " | | | E 2 x | Untere bunte Molasse |
| CHATTIEN | | | E2a,B | Aarwanger Molasse |
| | | | E 1 | Wynauer Kalke |

Ein zusätzliches Hilfsmittel zur Klassifizierung der jüngeren lithostratigraphischen Einheiten waren die Geröllanalysen diverser Nagelfluhhorizonte. Diese lassen sich im Gelände gut feststellen und sind als sogenannte Leithorizonte für die Unterteilung der Oberen Meeresmolasse sehr nützlich. Im Untersuchungsgebiet wurden 42 Geröllanalysen vorgenommen und petrographisch (pro Probe 200 Gerölle) bestimmt.

2. Methodik

Die Probenzahl für die sedimentpetrographischen Untersuchungen belief sich bei den Leichtmineralen (LM) auf 118, bei den Schwermineralen (SM), Korngrössenanalysen und beim Karbonatgehalt auf 155 (vgl. Tab.4). Nicht mit einbezogen sind die Proben der Bohrung Altishofen 1 sowie ein Teil der Bohrungen von Wynau. Beide Bohrungen werden in einem eigenen Kapitel beschrieben. Die Aufbereitung des Probengutes geschah nach der am hiesigen Institut gebräuchlichen Methode (vgl. MATTER 1964, MAURER et al. 1978).

2.1 Korngrössenanalysen

Die Korngrössen von Sandsteinen wurden mittels einer Rotap-Siebmaschine bestimmt. Ein Computerprogramm zeichnete und berechnete die gemittelten Summenhäufigkeitskurven, Histogramme sowie die verschiedenen Parameter wie Mittelwert (Mean), Standardabweichung, Schiefe (Skewness) und Gipfeligkeit (Kurtosis) der jeweils zu Gruppen zusammengefassten Proben.

2.2 Karbonatbestimmung

Den Karbonatgehalt bestimmten wir mittels komplexometrischer Titration (SCHWARZENBACH 1960).

2.3 Leichtmineral-Anteil

Der Leichtmineral-Anteil (Fraktion 0,10-0,15 mm) wurde in ein Immersionöl (n = 1,540) eingebettet und nach seinem Quarz-, Feldspat-, Gesteinsbruch- und Glimmeranteil bestimmt. Zählung pro Präparat: 100 Körner exklusive Glimmer.

2.4 Schwermineral-Anteil

Beim Schwermineral-Anteil wurden 100 durchsichtige Körner ohne Granat ausgezählt und gleich 100% gesetzt. Der Prozentgehalt des Granats konnte nach der Formel Granat/(100 SM+Granat) ermittelt werden.

3. Korngrössenanalysen (vgl. Fig. 1)

Mit dieser Untersuchung wollten wir abklären, ob sich die lithostratigraphisch abgrenzbaren Einheiten in bezug auf die Korngrössenverteilung der Sandfraktion unterscheiden. Allein schon aufgrund des Feldbefundes sind lithologisch bedeutende Unterschiede vorhanden. Das «Chattien» ist charakterisiert durch helle, glimmerreiche Sandsteine. Im «Aquitanien» wechsellagern helle, knauerige Sandsteine mit bunten, z. T. roten Mergeln. Gerölle sind in der USM eine Seltenheit. Massige, gelbgraue, z. T. glaukonitische Sandsteine mit zwischengeschalteten Muschelsand-

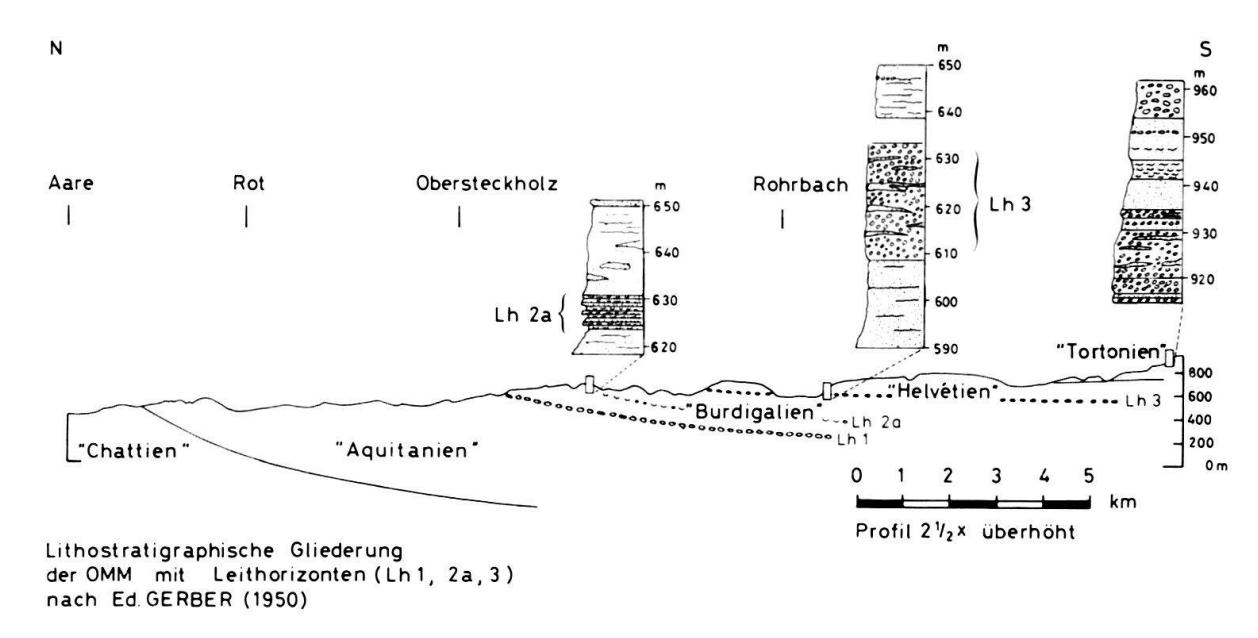


Fig. 1. Referenzprofil und lithostratigraphische Gliederung mit Leithorizonten.

steinbänken und einzelnen Geröllhorizonten sind typisch für das «Burdigalien». Im «Helvétien» sind mächtige Nagelfluhhorizonte dominierend und wechsellagern mit glimmerreichen, vorwiegend plattigen Sandsteinen. Gelbgraue Mergel und Muschelsandsteine spielen eine untergeordnete Rolle. Das «Tortonien» wird von massigen, knauerigen Sandsteinen mit wenig mächtigen Geröllhorizonten sowie kohligen und fossilführenden Lagen aufgebaut.

Für die Korngrössenanalysen wurden Sandsteine und Sandproben aus Nagelfluhkörpern entnommen. Die Probenentnahme erfolgte entsprechend den Aufschlussverhältnissen (vgl. Fig. 2) nicht sehr dicht.

Die einzelnen Parameter, die aus der Korngrössenverteilung berechnet werden, haben für die Bestimmung des Ablagerungsmilieus von Molassebildungen meist nur einen beschränkten Aussagewert, vielmehr erlauben sie, innerhalb eines Ablagerungsraumes bestimmte sedimentäre Fazies, deren Bildung durch verschiedene Energieniveaus bedingt ist, zu unterscheiden. Bei unseren Untersuchungen lässt die beschränkte Probenzahl keine derartige Interpretation zu, daher wurden die einzelnen lithostratigraphischen Einheiten als Gruppen aufgefasst. Auf Figur 3a sind die gemittelten Histogramme und auf Figur 3b die gemittelte Summenhäufigkeit für

| | | Me | an | Standard | i- | |
|---------------|------------|------------|-------|----------|--------------|----------|
| | Probenzahl | in | in mm | abweich | ung Skewness | Kurtosis |
| Flussproben | 46 | 2,16 | 0,22 | 1,21 | 0,46 | 7,74 |
| «Tortonien» | 28 | 2,80 | 0,14 | 1,48 | 0,09 | 10,72 |
| «Helvétien» | 37 | 2,53 | 0,17 | 1,20 | 0,26 | 7,75 |
| «Burdigalien» | 16 | 2,31 | 0,20 | 1,17 | 0,21 | 7,78 |
| «Aquitanien» | 10 | 2,78 | 0,14 | 1,05 | 0,70 | 3,37 |
| «Chattien» | 18 | 3,04 | 0,12 | 1,08 | 0,45 | 3,31 |

Tabelle 2: Darstellung verschiedener Parameter, die sich aus der Korngrösse ableiten.

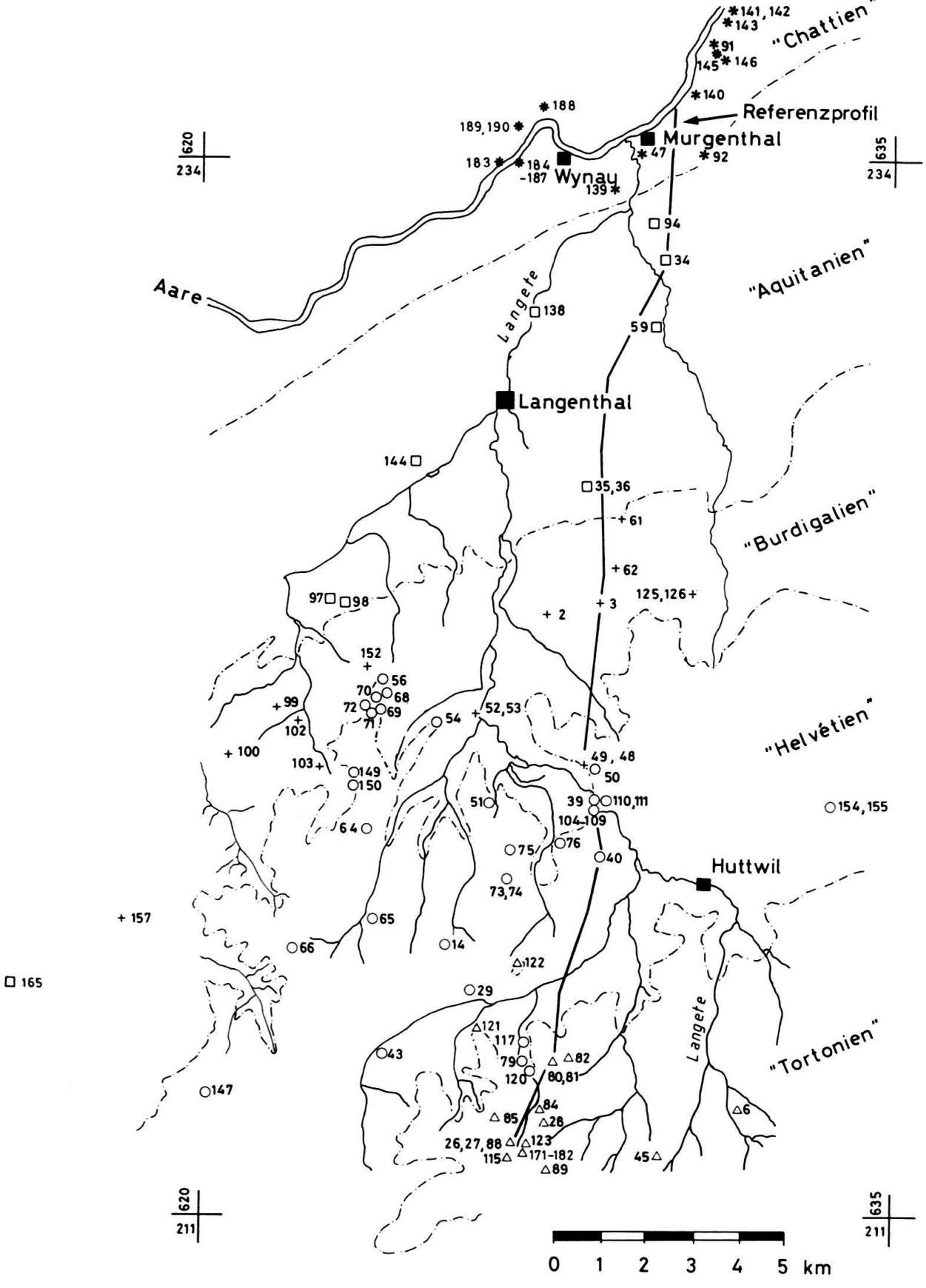


Fig. 2. Entnahmestellen von Molasseproben.

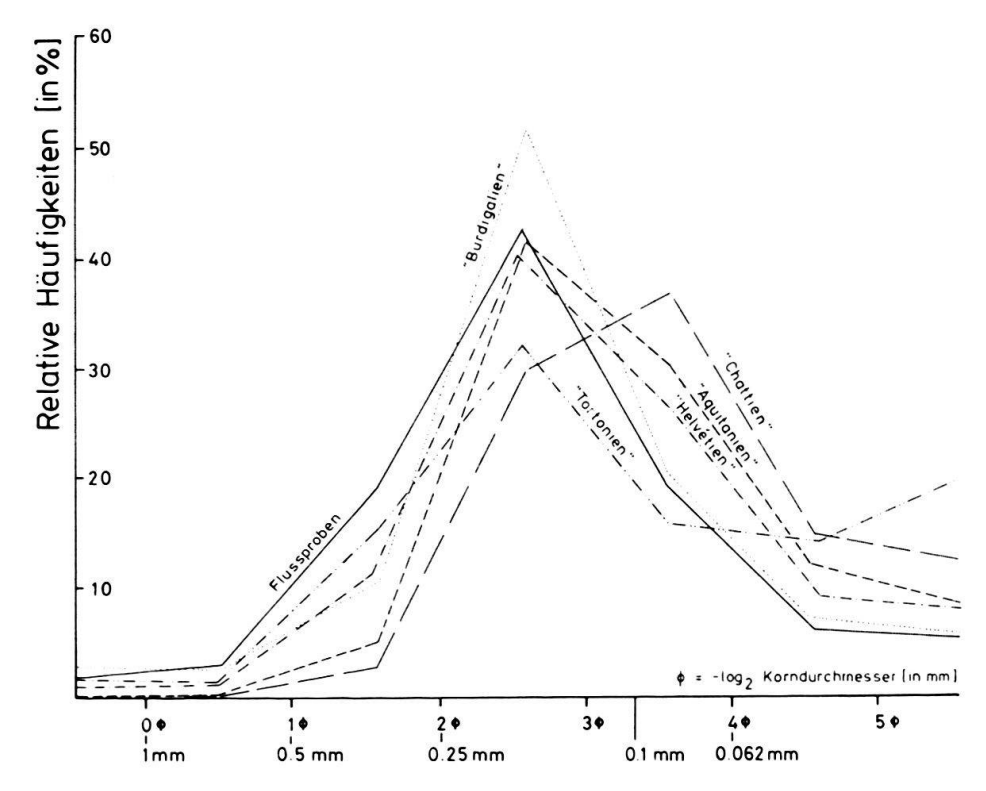


Fig. 3a. Histogramme aus den Korngrössenanalysen in den lithostratigraphischen Einheiten.

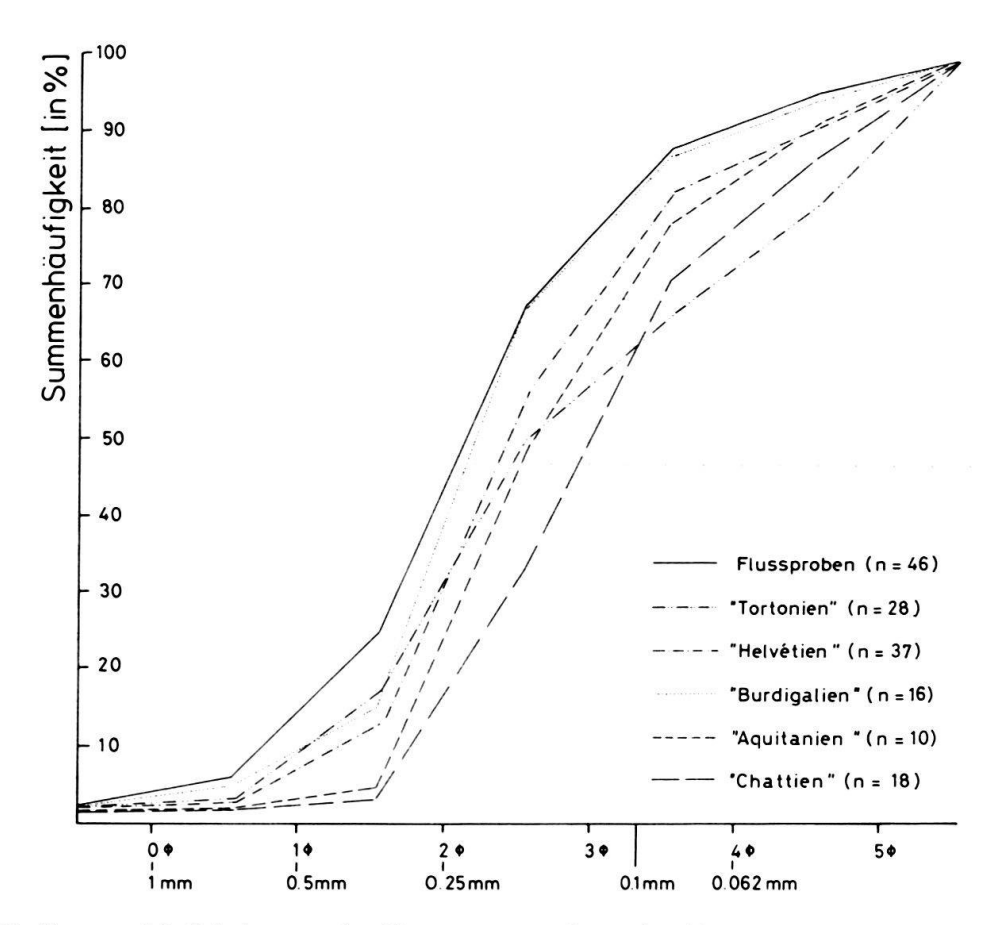


Fig. 3b. Summenhäufigkeiten aus den Korngrössenanalysen der lithostratigraphischen Einheiten.

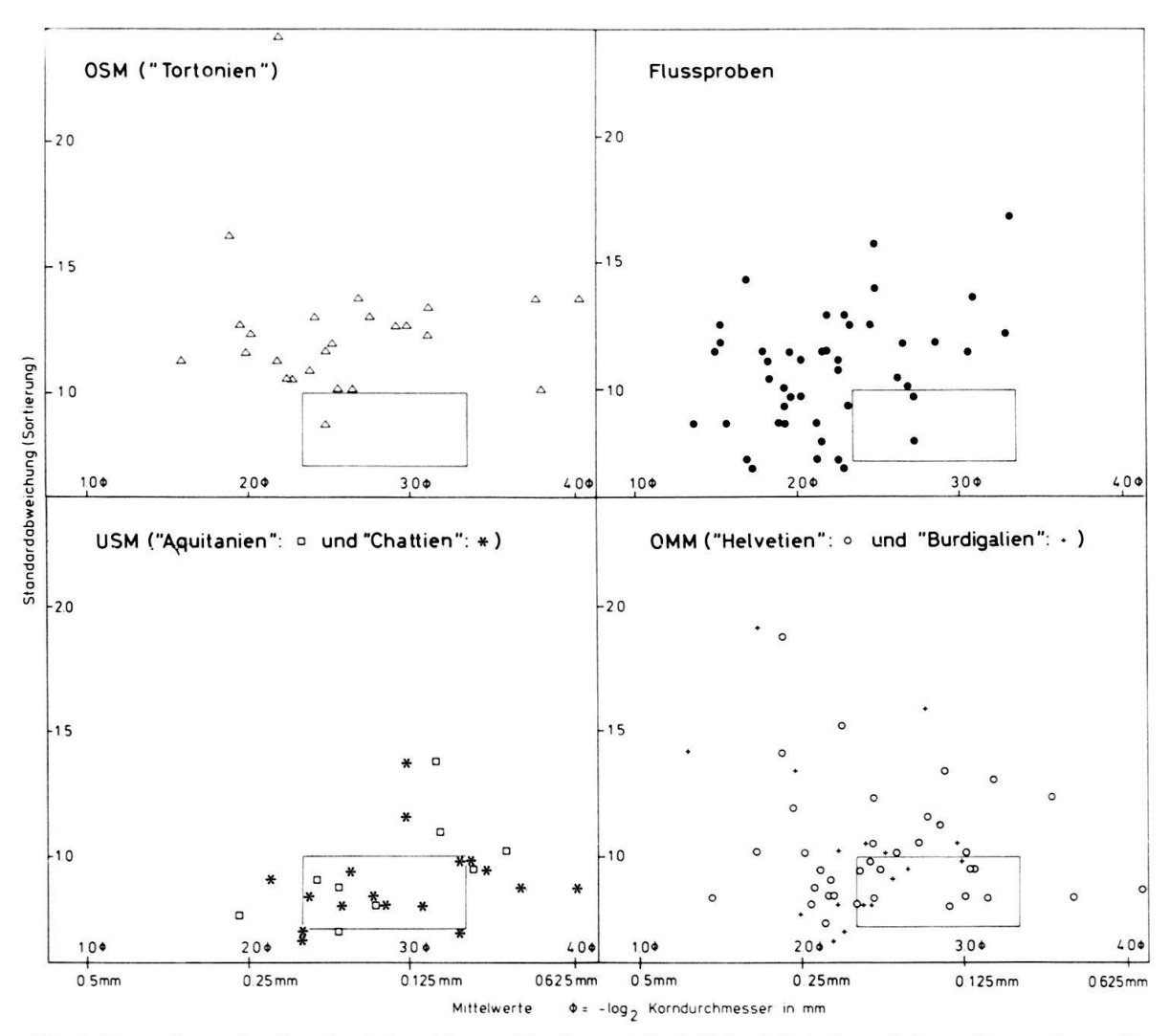


Fig. 4. Darstellung der Standardabweichung (Sortierung) in Abhängigkeit der mittleren Korngrösse. (Das Rechteck enthält die mittelmässig sortierten Proben im Sortierungsoptimum nach WALGER 1962.)

die einzelnen lithostratigraphischen Einheiten dargestellt. Auf Figur 3a fällt auf, dass im «Chattien» entsprechend der grösseren Entfernung der Probenentnahmestellen von den Alpen kleinere Sandkörner als in allen jüngeren Stufen abgelagert wurden. Ferner zeigt sich ein signifikanter Unterschied der Proben der USM («Chattien» und «Aquitanien») zu den Proben der OMM («Burdigalien» und «Helvétien») sowie zu den Proben der OSM («Tortonien»). In der graphischen Darstellung (s. Fig. 4) von mittlerer Korngrösse gegen Standardabweichungen sowie der Tabelle 2 kommen diese Unterschiede klar zum Ausdruck.

Ein Blick auf die Tabelle 2 zeigt folgendes: Die Korngrösse nimmt vom «Chattien» bis ins «Burdigalien» zu, nachher folgt eine Abnahme vom «Helvétien» bis in das «Tortonien». Die Sortierung ist in der USM («Aquitanien» und «Chattien») am besten, in der OMM («Tortonien») am schlechtesten (vgl. Standardabweichung). In der Kurtosis kommt dieselbe Gruppierung zum Vorschein, wobei die deutlich abweichende Zahl der Kurtosis für das «Tortonien» bedeutet, dass der Mittelteil der Kurve (25–75%) extrem besser sortiert ist als die Enden der Kurve (5 und 95%).

Die beschriebene Entwicklung der Korngrössen hängt sowohl mit dem Vorrükken der Südgrenze des Molassetroges wie auch mit der Veränderung des Ablagerungsraumes von einer Schwemmlandebene (USM) zu einem marinen und fluvioterrestrischen Delta (OMM) und schliesslich zu einem alluvialen Schuttkegel (OSM) zusammen.

4. Karbonatgehalt

Bei den Karbonaten wurde der Gehalt an Calcit sowie Dolomit ermittelt (vgl. Tab.4). Die Durchschnittswerte für Calcit sind dabei im «Chattien» und «Tortonien» höher (18-20%) als im «Aquitanien», «Burdigalien» und «Helvétien» (10-14%). Anhand des Calcit/Dolomit-Verhältnisses zeigt sich dieselbe Anordnung wie vorher. Dies bedeutet, dass die Veränderung des Dolomitgehaltes proportional zum Calcitgehalt ist. Der erhöhte Calcitgehalt resultiert sehr wahrscheinlich aus dem primär vorhandenen Angebot der Karbonate (Kalke im «Chattien», «Kalk»nagel-fluh im «Tortonien»).

Die im Einzugsgebiet der Langete genommenen Sandproben zeichnen sich durch einen sehr geringen Karbonatgehalt aus (<6%). Dies ist durchaus verständlich, besteht doch das Probenmaterial lediglich aus den Komponenten. Die karbonatische Matrix wurde auf dem Transportweg zerstört, teilweise chemisch aufgelöst oder als Komponenten $<63~\mu$ wegtransportiert.

5. Leichtminerale

Bei den Leichtmineralen (vgl. Tab. 4) lässt sich an der Wende von «Chattien» zu «Aquitanien» ein Wechsel von Quarz- zu Feldspatvormacht feststellen. Anhand des Quarz/Feldspat-Verhältnisses (Q/F) in nachfolgender Tabelle ist dieser Wechsel veranschaulicht.

In den höheren lithostratigraphischen Einheiten nimmt vom «Aquitanien» an das Q/F-Verhältnis zu. Diese Entwicklung beruht sicherlich auf der Zusammensetzung der die Sandsteine begleitenden Nagelfluh. So zeigen die Nagelfluhgerölle der Leithorizonte Lh1 und des etwa 90 m höher liegenden Lh1a (Wende «Aquitanien» zu «Burdigalien») einen deutlichen Anteil von Kristallingeröllen (vgl. Kap. 9), während in den jüngeren Stufen die Nagelfluhgerölle aus Sedimentgesteinen bestehen. Eine sehr ähnliche Entwicklung konnte von MATTER (1964) im Entlebuch nachgewiesen werden.

| | Probenzahl | Quarz/Feldspat-Verhältnisse |
|---------------|------------|-----------------------------|
| Flussproben | 33 | 0,95 |
| «Tortonien» | 25 | 0,72 |
| «Helvétien» | 30 | 0,66 |
| «Burdigalien» | 12 | 0,58 |
| «Aquitanien» | 7 | 0,37 |
| «Chattien» | 11 | 1,35 |

Tabelle 3: Quarz/Feldspat-Verhältnis in den jeweiligen informalen Stufen.

390 H. Maurer et al.

6. Schwerminerale

Die Mittelwerte der Schwermineralvergesellschaftungen haben wir entsprechend den lithostratigraphischen Zuordnungen auf Figur 5 sowie Tabelle 4 dargestellt.

Die ältesten, im Untersuchungsgebiet aufgesammelten Proben betreffen das «Chattien». Ihre Schwermineralassoziation ist durch die

SM-Formel:
$$G, A, E, s, t, z, t'^4$$
)

gegeben. Erst die profilmässig durchgeführte Beprobungen der Bohrung Altishofen I sowie der Bohrungen von Wynau erlauben eine genauere schwermineralogische Differenzierung.

Das Kennzeichen des «Chattien» ist der hohe Gehalt an Apatit, der in den jüngeren Stufen durch die Vormacht des Epidots abgelöst wird. Dieser Umschlag findet im höheren «Chattien» statt und ist gleichzeitig mit einer Granatzunahme gegen das Liegende verbunden (vgl. MAURER et al. 1978, 1980). Die Schwerminerale Staurolith, Spinell und Alkalihornblende besitzen für den unteren Teil des «Chattien» Leitwert.

Im «Aquitanien» ist die bereits erwähnte deutliche Vormachtstellung des Epidots (62%) feststellbar; der Apatit tritt immerhin noch mit 18% als Hauptge-

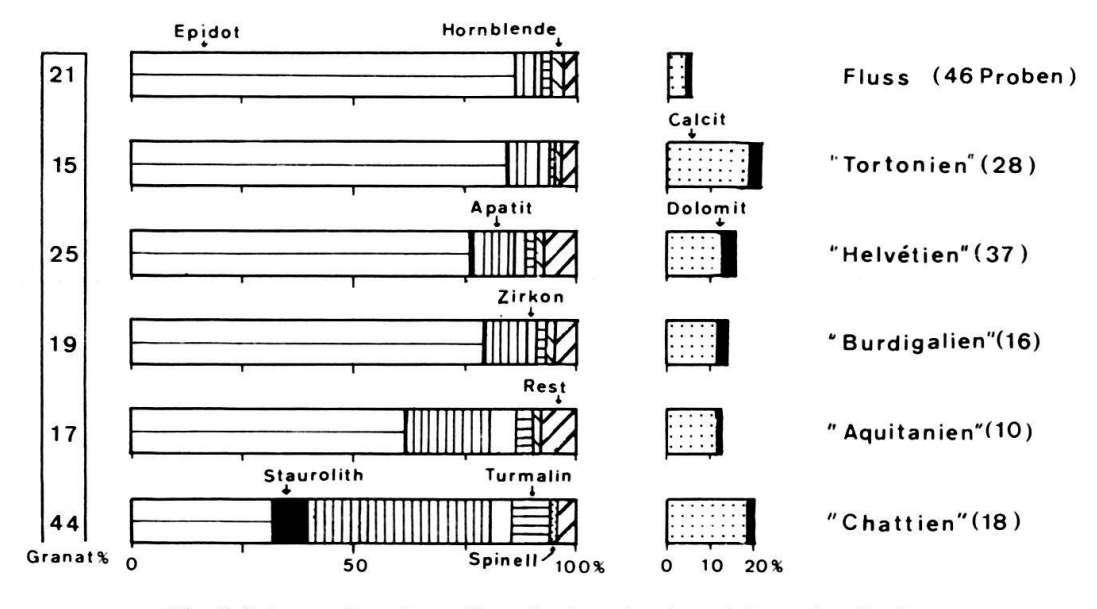


Fig. 5. Schwermineralverteilung in den einzelnen informalen Stufen.

⁴⁾ Die Abkürzungen der Schwerminerale wurden in Anlehnung an FÜCHTBAUER (1964) übernommen. Die Hauptgemengteile (>10%) sind gross, die Nebengemengteile (2-10%) klein geschrieben. Akzessorien sind in der Formel nicht berücksichtigt. Der Granat (G) wurde vorangestellt, gross geschrieben, wenn er das häufigste Schwermineral war, sonst klein. Die übrigen Minerale sind in der Reihenfolge ihrer Häufigkeit aufgezählt. Es bedeuten: A = Apatit, Ah = Alkalihornblende, Ba = Baryt, Cd = Chloritoid, DI = Disthen, E = Epidot, Hbl = Hornblende, Or = Orthit, Py = Pyroxen, S = Staurolith. S' = Spinell, So = sonstige SM, T = Turmalin, T' = Titanit, TiO₂ = TiO₂-Gruppe, Z = Zoisit.

| | | | | s c | H W | E R | M I | N E | R A | LE | | | <u>e</u> | KARBO | NATE | LEICE | HTMIN | ERALE |
|---------------|------------|----------|--------|--------|---------|----------|--------|-------------|---------|------------|------------|------------|-----------------|--------|---------|-------|----------|--------------------------|
| | Probenzahl | Granat % | Epidot | Apatit | Spinel1 | Turmalin | Zirkon | Ti02-Gruppe | Titanit | Staurolith | Chloritoid | Hornblende | Alkalihornblend | Calcit | Dolomit | Quarz | Feldspat | Gesteins- bruchstücke |
| Flussproben | 46 | 26.0 | 85.9 | 4.8 | 0 | 2.0 | 0.9 | 0.8 | 1.5 | 0.5 | 0.7 | 2.5 | 0 | 4.3 | 1.2 | 41.4 | 43.4 | 15.2 |
| "Tortonien" | 28 | 14.9 | 84.8 | 8.2 | 0 | 1.0 | 1.7 | 1.1 | 0.6 | 0.3 | 0.5 | 1.1 | 0 | 19.2 | 2.6 | 37.0 | 51.5 | 11.5 |
| "Helvétien" | 37 | 24.9 | 75.5 | 10.7 | 0 | 2.3 | 1.7 | 0.9 | 2.0 | 1.1 | 1.1 | 1.8 | 0.3 | 13.3 | 2.7 | 31.7 | 49.6 | 18.7 |
| "Burdigalien" | 16 | 19.4 | 80.6 | 7.9 | 0 | 1.9 | 2.0 | 0.5 | 1.0 | 0.3 | 0.8 | 1.2 | 0.1 | 11.7 | 2.1 | 30.1 | 51.0 | 18.9 |
| "Aquitanien" | 10 | 17.4 | 62.4 | 18.1 | 0.1 | 2.1 | 6.5 | 0.1 | 6.9 | 0.5 | 0.1 | 1.4 | 0 | 10.9 | 1.7 | 23.7 | 63.6 | 12.7 |
| "Chattien" | 18 | 43.9 | 32.1 | 41.2 | 1.1 | 7.6 | 5.0 | 1.0 | 2.9 | 8.6 | 0.1 | 0 | 0.3 | 18.0 | 2.1 | 52.2 | 38.6 | 9.2 |

Tabelle 4: Schwermineral-, Karbonat- und Leichtmineralgehalt in den jeweiligen informalen Stufen.

mengteil auf. Unter den Nebengemengteilen haben Zirkon und Titanit ihre Positionen getauscht. Akzessorisch tritt in dieser Stufe die Hornblende auf, die im «Chattien» fehlt.

SM-Formel: g, E, A, t', z.

Beim Granat ist gegenüber dem «Chattien» ein deutlicher Rückgang zu verzeichnen.

Im «Burdigalien» nimmt der Epidot weiterhin zu (80%), während der Apatit bereits nur mehr als Nebengemengteil (<10%) vorhanden ist. Als akzessorischer Bestandteil kommt Chloritoid vor.

SM-Formel: g, e, a, t, z.

Im «Helvétien» ist eine Abnahme des Epidots festzustellen (76%). Dadurch wird der Apatit knapp zum Hauptgemengteil (>10%). Der Chloritoid – als charakteristischer Akzessor – erreicht im «Helvétien» sein Maximum.

SM-Formel: g, E, A, t, t'.

Im «Tortonien» erreicht der Epidot mit 85% die höchsten Werte. Im Gegensatz zu den im Liegenden schlecht erhaltenen, stark zersetzten Epidoten besitzen die Epidote im «Tortonien» eine erstaunliche Frische und Klarheit.

SM-Formel: g, E, a.

Die im Einzugsgebiet der Langete entnommenen Flussproben besitzen ein ähnliches SM-Spektrum wie das «Tortonien». Lediglich die Hornblende erreicht in den Flussproben ein Maximum von 2,5%. Dieser zwar minimale, jedoch erkennbare Anstieg lässt sich durch die quartäre Bedeckung des Untersuchungsgebietes erklären. Gasser et al. (1969, S. 479) stellten in ihrer Arbeit fest, dass in den Pleistozänproben vermehrt Hornblenden und Pyroxene auftreten, wobei sich an den Austrittsstellen der Gletscher ins Mittelland hohe Hornblendewerte abzeichnen. So stammt der erhöhte Hornblendegehalt im Einzugsbereich der Langete aus dem Abtrag pleistozänen Materials.

SM-Formel: g, E, a, hbl.

392 H. Maurer et al.

7. Sedimentpetrographische Untersuchungen an Sandproben der Langete

Das Tal der Langete ist durch eine breite Talsohle mit einem durchschnittlichen Gefälle von ½ Grad und zahlreichen, schmalen Gräben, die das umliegende Hügelbzw. flache Bergland entwässern, charakterisiert. In der Schweiz wurden bis anhin sedimentpetrographische, insbesondere schwermineralogische Untersuchungen an rezenten Sedimenten nur im Einzugsgebiet des Alpenrheins (Hahn 1969) sowie im Thunersee (Sturm et al. 1972) durchgeführt. Diese Überlegung und auch die Tatsache, dass die Langete einen wenig verbauten Flusslauf darstellt, veranlassten uns, das Einzugsgebiet der Langete sedimentpetrographisch zu untersuchen.

Tabelle 5: Zusammenstellung der sedimentpetrographischen Resultate der Flussproben im Einzugsgebiet der Langete.

| | | | | SM (| ohr | ie | Gı | aı | nat | | in s | | | LM Gli | ohn mmer | | 1 % | |
|---|--|---|--|---|--------------------------------------|---------|----------------------------|------------------|--------------------------------------|------------------|---|--|---|--|--|--|---|---|
| Proben-Nr. | Koordinaten | Granat | Epidot | Apatit | Turmalin | Spineil | Zirkon | TiO2-Gruppe | Titanit | Staurolith | Hornblende | Sonstige SM | SM Gew.8 | Quarz | Feldspat | stücke | Calcit in % | Dolomit in % |
| | | | F | LUS | SSP | R | OBE | N | | | | | | T | | | | |
| 004 005 007 008 009 010 011 012 | 626010/221626 624340/219775 625825/21 9 550 | 29 23 17 1 18 22 27 39 | 90 93 94 89 96 84 87 91 80 | 6 2 3 3 5 5 | 1 3 1 1 3 | | 1 1 1 | 1 2 1 | 1 1 1 1 | 3 1 1 2 | 1 2 3 4 2 3 8 | 350,1Py 1Cd 5Cd,1Ah 1Py,1Ah 1Cd 3Cd | 2,7 2,9 2,2 2,4 1,3 1,5 2,0 1,6 | 45 36 51 41 34 34 34 | 41 52 36 41 42 54 51 | 17 14 12 13 18 17 12 15 | 6,3 5,0 5,5 6,4 10,7 6,3 5,7 3,0 0,4 | 0,3 0,2 1,8 0,4 1,3 0,8 2,6 1,4 2,0 |
| 015 016 017 018 019 020 021 022 | 625125/215300 627860/216120 629675/218525 629435/221925 629925/215900 620625/215610 629425/214620 629050/214575 | 64 20 33 18 43 20 10 32 19 | 89 74 76 82 94 76 84 93 85 | 1 12 10 7 2 7 6 1 | 3 2 7 2 3 2 1 2 | | 2 2 1 1 | 5 1 1 2 | 2 3 2 1 5 3 | 1 | 2 1 4 3 1 3 2 4 | 1Cd,1So 1Cd,1So 2Cd,1So | 4,1 3,3 3,2 2,7 2,6 2,9 1,6 4,2 3,0 | 37 37 36 43 7 36 41 9 36 42 43 | 54 42 38 48 43 48 40 44 | 9 21 19 16 16 16 18 13 | 2,0 5,2 6,2 6,3 2,5 6,3 6,0 3,1 4,1 | 0,9 0,3 1,7 0,9 1,8 1,6 1,8 0,9 |
| 024 025 031 032 037 041 042 058 | 627725/220400 629200/233325 624375/232200 626600/227550 626075/218825 623725/214125 | 25 61 5 34 38 29 20 | 71 89 98 90 80 86 77 | 10 9 2 4 3 3 6 | 7 1 1 1 4 5 3 | 1 | 1 2 2 3 | 2 2 3 | 3 4 1 2 1 5 | 2 | 4 2 1 1 4 3 | lCd,lSo, lAh lCd lCd lCd,lBa lSo lCd,lSo | 2,5 2,2 3,1 1,1 3,0 1,5 3,4 | 2 43 1 40 1 37 5 39 1 36 | 48 41 41 48 41 | 21 12 22 6 13 23 | 6,8 0,9 2,7 2,4 3,0 1,9 0,5 5,5 | 2,0 1,7 1,1 1,3 0,8 1,2 |
| 063 067 077 078 083 086 087 101 | 627450/213925 627225/212925 627075/212425 622150/222080 | 38 24 25 31 35 33 17 14 25 | 84 86 84 88 83 82 86 71 94 | 8 5 6 6 11 9 8 2 | 5 2 4 1 4 2 | | 1 1 1 2 1 6 | 2 3 | 1 2 4 3 1 1 4 5 | 3 | 1 1 3 1 1 2 2 | 1Cd 1Cd 1Cd 2Cd | 4,2 2,6 2,3 2,9 4,2 3,1 1,3 | 5 40 8 43 9 51 9 40 2 48 8 41 8 41 | 43 40 37 48 39 49 | 15 17 17 12 12 13 10 21 | 4,9 1,0 5,1 6,2 6,4 9,1 8,0 2,7 | 1,3 1,2 1,2 0,7 1,1 0,6 0,7 2,5 2,6 |
| 127 128 129 130 131 132 133 134 135 136 137 | 626050/215125 631575/219100 631275/217950 631075/213475 625625/220750 626875/220750 625375/219875 625900/222350 627975/223350 626725/225450 | 14 28 19 13 23 23 15 4 57 43 20 | 84 91 86 93 93 89 91 84 86 92 75 | 5 4 5 4 1 1 2 4 3 3 5 | 2 1 1 2 1 4 5 | | 2 1 1 2 3 1 | 1 2 1 | 1 1 1 3 | 1 1 2 | 4 1 4 1 5 7 10 3 1 4 | 1Cd 1Cd 1So 1Cd,1So | 2,5 2,8 1,9 2,6 2,6 2,6 2,6 2,6 2,6 2,6 2,6 2,6 2,6 | 7 5 8 9 6 6 6 4 4 3 | | | 3,0 4,0 4,8 5,2 4,1 2,4 1,3 1,5 1,7 5,7 3,0 | 1,1 2,2 0,7 2,4 0,9 0,7 0,9 1,1 0,7 0,4 2,2 |

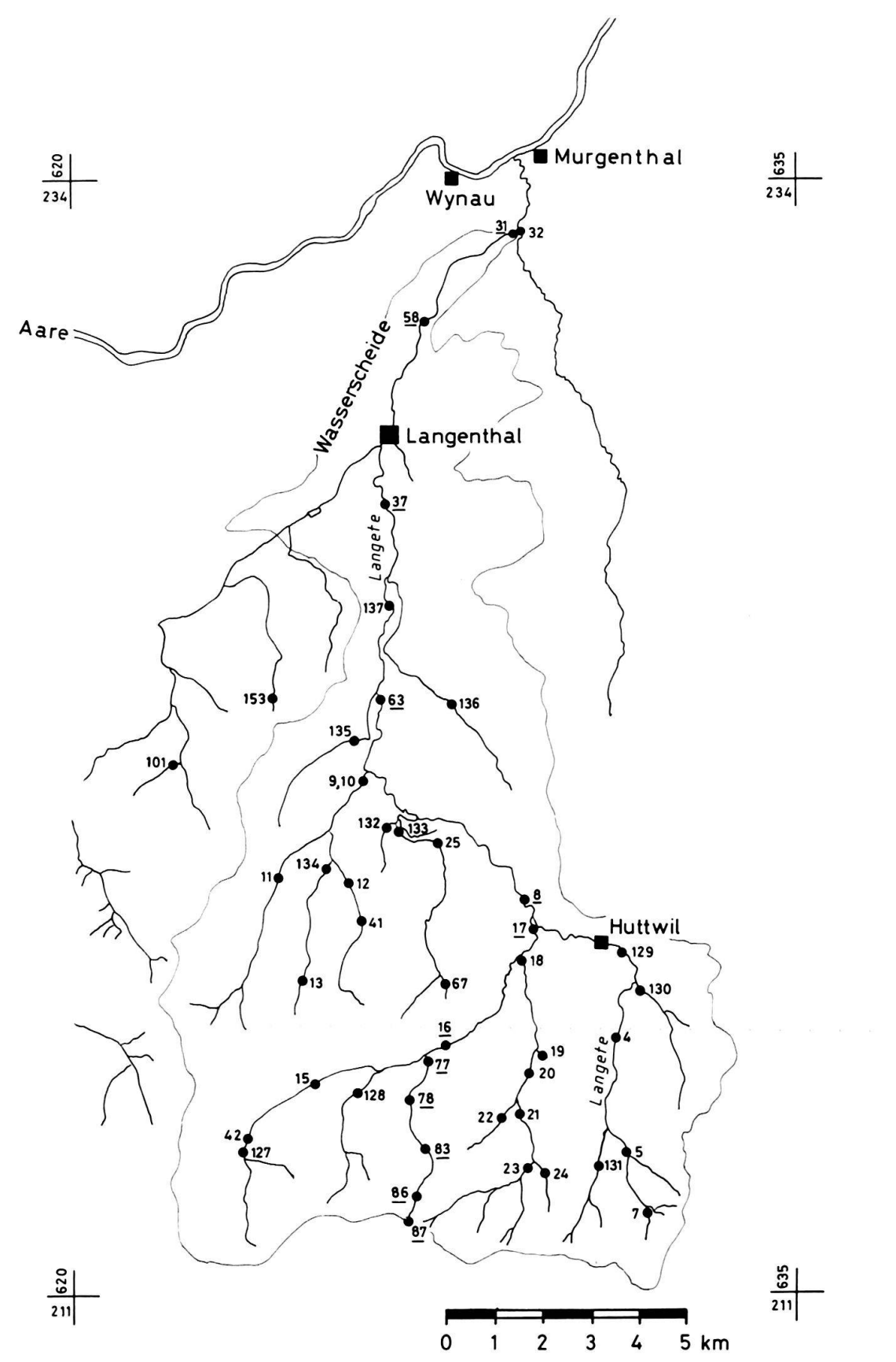


Fig. 6. Entnahmestellen von Flussproben, wobei unterstrichene Probennummern für die Schwer- und Leichtmineralverteilung im Langetenlauf verwendet wurden (vgl. Fig. 7).

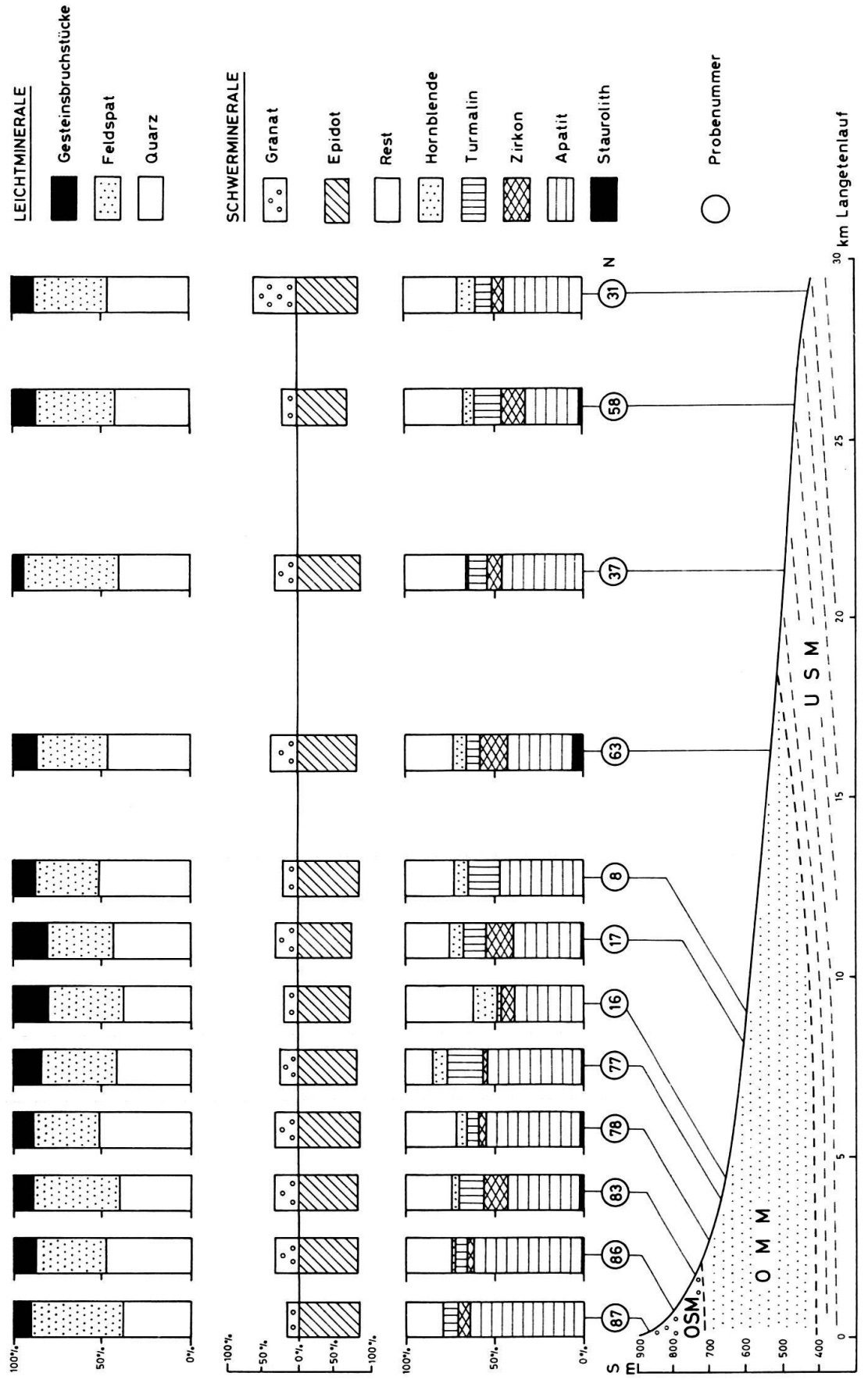


Fig. 7. Schwer- und Leichtmineralverteilung im Langetenlauf.

An 46 Flussproben (vgl. Fig. 6), die als Durchschnittsproben der obersten 2-3 cm auf Sandbänken, meist in der Mitte der Bäche, entnommen wurden, erfolgten die sedimentpetrographischen Untersuchungen (SM, LM, Karbonatgehalt).

Die sedimentpetrographischen Resultate, die auf der Tabelle 3 als Mittelwerte dargestellt sind, zeigen gegenüber den Molasseproben deutliche Unterschiede. Am auffallendsten ist dabei der Karbonatgehalt, des weiteren der sich deutlich abhebende Hornblendegehalt, der aus der Quartärbedeckung stammt (vgl. GASSER et al. 1969), sowie ein Maximum an Epidot (85%). Gegenüber den jüngeren Stufen der Molasse ist ein Anstieg des Quarzgehaltes zu verzeichnen. Wir haben versucht, die sedimentpetrographischen Resultate profilmässig zu erfassen (vgl. Fig. 7), indem wir die Langete, welche die Molassestufen «Tortonien» bis «Aquitanien» durchläuft, mit einem dichten Probennetz von ihrem Ursprung bis zur Mündung in die Aare belegten. Anhand der Schwermineralverteilung zeigt sich ein recht konstantes Spektrum von Epidot (70-90%) mit unterschiedlicher Granatführung. Da der Granat korngrössenabhängig ist, ist er für die Interpretation nicht geeignet. In der Hoffnung, bessere Hinweise über den verbleibenden Anteil (10-30%) der Restvergesellschaftung zu bekommen, zählten wir unter Weglassung von Epidot und Granat 100 Körner aus. Auf der Figur 7 zeigen die untersten Balken das gespreizte Band der Restvergesellschaftung. Auch hier lässt sich keine trendmässige Entwicklung erkennen.

Zusammengefasst sei festgehalten, dass sich die Flussproben noch weniger voneinander unterscheiden als die Molasseproben; ein plausibles Resultat, das keiner weiteren Erklärung bedarf.

8. Statistische Auswertung der sedimentpetrographischen Daten in den Molasseproben

In einem ersten Schritt wurden die Mineralanalysen-Daten von insgesamt 109 Proben (vgl. Tab.6) mit 18 Variablen (Granat, Epidot, Apatit, Turmalin, Spinell, Zirkon, Rutil, Titanit, Staurolith, Chloritoid, Hornblende, Baryt, Sonstiges, Alkalihornblende, Calcit, Dolomit, SM-Gewichtsprozente und Pyroxen) standardisiert. Danach wurden die Hauptkomponenten⁵) berechnet, wobei die erste gegen die zweite Hauptkomponente graphisch dargestellt wurde (vgl. Fig.8). Die Varianten der fünf ausgeschiedenen Gruppen zeigen ein relativ dichtes Punktwolkenfeld mit Ausnahme der Proben des «Chattien», die als weit gestreutes Verteilungsmuster sich deutlich von anderen Gruppen abheben.

In einem weiteren Schritt wurde jede Gruppe gegen jede andere diskriminiert. Durch diesen paarweisen Vergleich wurden durch die Elimination der redundanten (= nichtsignifikanten) Schwerminerale die zur Trennung diagnostischen Schwerminerale ermittelt. Das auf der Figur 9 dargestellte Diagramm (links unten) veran-

⁵) Die Schwermineralkonzentrationen werden in einem mehrdimensionalen Koordinatensystem dargestellt, wobei uns primär die Varianz (Streuung) und nicht die geometrische Form der Punktwolken interessiert. Um eine optimale Graphik der Streuung zu erhalten, wird das Koordinatensystem so gedreht, dass die Achse mit der längsten Varianz die erste Hauptkomponente, diejenige mit der zweitlängsten Varianz die zweite Hauptkomponente usw. bildet (vgl. Cammon 1969).

396 H. Maurer et al.

Tabelle 6: Zusammenstellung der sedimentpetrographischen Resultate der Molasseproben.

| | | | SM ohne Granat in % | | | | | | | | | | G | | ob | nne in | 8 | |
|---|--|---|--|---|---|---------|--|--|--|--------------------------------------|--|---|---|--|--|--|---|---|
| Proben-Nr. | | Granat | Epidot | Apatit | Turmalin | Spinell | Zirkon | TiO2-Gruppe | Titanit | Staurolith | Hornblende | Sonstige SM | SM Gew.* | Quarz | Feldspat | Gesteinsbruch- stücke | Calcit in % | Dolomit in % |
| | | | | | 0.1 | " | TOR | TON | IEN | . " | | | | | | | | |
| 006 026 027 028 045 080 081 082 084 085 088 089 115 121 122 123 171 172 173 174 175 176 177 178 179 180 181 | 626900/212475 626900/212475 627675/212850 630200/212175 627750/214125 627750/214125 628200/214285 627500/213310 627225/212925 627925/212475 627925/212475 626900/212475 626030/215185 627075/216475 627120/212425 626925/212450 626925/212450 626925/212450 626925/212450 626925/212450 626925/212450 626925/212450 626925/212450 626925/212450 626925/212450 626925/212450 | 32 111 12 15 26 21 7 7 19 31 12 27 40 19 19 22 14 14 22 14 13 15 7 7 | 93 86 85 74 77 81 90 83 81 70 85 96 91 71 95 84 77 78 91 83 80 82 91 89 93 85 94 | 3 6 8 8 9 13 7 8 5 12 6 10 2 4 12 2 11 18 6 4 14 14 9 4 4 7 6 6 9 4 | 1 2 2 3 4 1 2 1 1 2 1 1 1 3 | 1 | 1 7 1 2 1 1 3 4 8 1 1 1 1 2 1 4 5 1 1 1 | 1 3 2 1 2 1 2 5 2 2 2 1 3 2 1 2 2 1 2 2 2 2 2 2 2 2 | 3 2 2 1 2 1 1 | 1 1 1 4 | 5 3 2 1 4 4 4 3 1 1 1 3 2 2 | 2Cd 3Cd 1Cd 1Di,1Py 1Di,3Py 4Cd 1Py,1Cd 1Cd 1Cd 1Py 1Cd | 3,5 2,6 2,8 10,0 3,4 1,6 2,0 6,1 15,1 1,9 4,8 1,4 6,1 1,0 2,3 3,2 3,2 3,8 1,3 0,4 1,5 2,0 0,2 | 24 24 23 26 39 42 29 38 24 40 43 30 41 51 56 37 44 42 35 26 29 55 37 | 65 55 57 56 40 42 51 48 53 45 47 53 48 41 34 57 51 52 | 11 21 20 18 21 16 20 14 23 15 10 17 11 8 10 6 6 8 8 10 11 2 | 17,6 3,9 15,7 16,8 13,6 22,3 11,7 16,6 20,1 14,6 18,5 26,8 17,5 12,5 13,7 23,1 23,3 23,7 23,6 24,0 42,3 2,1 30,7 32,3 19,5 528,5 | 2,8 4,3 10,3 4,3 1,6 0,6 0,6 0,7 2,4 4,9 3,7 0,4 1,8 0,9 0,7 4,9 4,7 2,9 3,4 0,7 2,4 0,7 2,4 1,5 2,6 4,0 |
| | *************************************** | | | 1 | | l I | HEI | l Vet | IEN | ı " | | l | | | | | | |
| 029 039 040 043 050 051 054 066 068 069 070 071 | 624040/220770 623675/219450 623650/217360 622025/216775 624030/222425 623925/222400 623925/222400 623720/222250 623720/222250 | 23 46 23 16 32 10 5 20 12 21 28 29 18 | 63 68 69 77 86 72 73 67 69 56 85 | 12 17 21 12 9 16 18 22 23 32 9 | 1 3 1 3 4 3 4 3 4 3 2 1 4 3 3 | | 1 3 6 2 2 2 1 1 1 2 4 3 | 1 1 1 1 1 1 1 1 1 | 1 1 3 7 6 1 3 1 1 3 | 2 1 2 1 1 5 3 1 | 1 4 3 2 3 1 1 2 2 2 1 2 | lCd lCd lCd,2Ah lPy lCd 2Cd,1Ah | 7,4 1,9 2,0 2,8 3,7 3,8 1,5 2,9 2,3 2,5 2,8 3,6 | 28 29 29 41 26 31 29 31 26 33 34 32 32 38 30 | 56 54 59 44 45 48 46 50 50 49 55 48 48 49 47 53 | 17 12 15 29 21 25 19 24 18 11 18 20 19 15 | 15,1 10,8 15,9 16,5 38,6 20,0 18,2 15,5 14,0 | 0,2 7,2 8,2 4,0 2,0 2,4 5,4 8,5 7,5 1,6 2,3 2,8 2,1 3,3 1,4 |
| 074 075 076 | 626725/218400 | 28 49 60 | 83 50 | 8 19 2 | 2 5 3 | | 2 5 1 | 1 8 3 | 2 1 1 | 1 7 1 | | lCd 2Cd,lDi 2Cd | 0,9 2,9 2,2 | 33 36 40 | 53 45 43 | | 15,2 3,6 3,5 | 0,3 0,6 0,5 |

| § | Ÿ | | | | | | | | | | | | | | | | | |
|--|--|------------------------------------|-------------|----------------------------|---|-------------|-----------|------|-------|---------------------|--------|--------------------|--|----------------------------|----------------------------------|---|------------------------------|--------------------------|
| 104 | | | | 1 | | | | | 1 | 1 | 2 | lDi | 2,6 | 10000 | 47 | | 3,0 | 0.9 |
| 105 | | 1 | 83 | | | | | | 2 | 2 | 4 | 2Di,1Zo | 2,4 | | | 17 | 0,8 | 1,2 |
| 106 | | 1 | 21 | 4 | 1 | | ١. | ١, | | ١. | 1 | lcd,lDi | 2,2 | 20700000000 | 58 | 15 | 1,4 | 1,1 |
| 107 | | | 89 87 | 1 | | | 1 | 1 | 2 | 3 | 1 2 | | 3,8 | | 57 | 13 | 1,3 | 0,7 |
| 109 | | 1 | 85 | 4 | | | | | 1 | 2 | 20.115 | lAh lPy | 1,7 3,7 | | 56 48 | 13 17 | 0,7 | 1,6 |
| 110 | and the second s | 24 | 67 | 15 | 351 | | 10 | | 4 | 4 | د | 2Cd,lAh | 2,0 | | 47 | 27 | 1,1 | 0,5 |
| 111 | 628900/219975 | 33 | 54 | 19 | 55374 | | 4 | | 9 | 1 | | 7Cd | 9,1 | Charles | 48 | | 17,4 | 5,5 6,4 |
| 117 | | 1 6 90 | 87 | 9 | 850 | 1 | 1 | | 1 | 1 | | 1Cd | 8,6 | 15 | 40 | 33 | 1,7 | 1,4 |
| 120 | | 31 | 81 | 5 | 1 | | 3 | 1 | ı | 1 | 9 | 100 | 8,7 | | | | 1, | 1,1 |
| 147 | | 30 | | 5 | | | | 1 | 1 | 2 | 7 | | 1,2 | | | | 26,8 | 2,4 |
| 149 | | 25 | 88 | 7 | | | 5 | | | | | | 1,9 | | | | | |
| 150 | 623675/220250 | 29 | 80 | 4 | 4 | | 1 | | 1 | | 4 | 4Cd,lAh | 2,3 | | | | 31,2 | 5,3 |
| 154 | 633775/220000 | 17 | 78 | 10 | 1 | | 1 | 3 | | 4 | 2 | 1Cd | 3,7 | | | | 20,5 | 2,9 |
| 155 | 633775/220000 | 38 | 80 | 8 | | l | | 1 | 4 | | 5 | 1Cd, lAh | 2,8 | | | | 32,9 | 3,7 |
| | | | | | 1 | 1 | | | l | l . | l | i | | | | | | |
| 1 | | | | | ī | I. Bi | URDI I | LGA) | LIEI | ı | | ı | | | | | | |
| 002 | 627650/224275 | 14 | 84 | 2 | 2 | | 1 | 1 | 3 | 1 | 4 | lCd,lDi | 3,0 | 36 | 48 | 16 | 13,1 | 0,4 |
| 003 | 628900/224540 | 44 | 69 | 14 | | | 2 | 1 | 2 | | 3 | 2Di | 3,6 | 10001140014 | 48 | 23 | 43,1 | 2,2 |
| 048 | 628400/220925 | 40 | 77 | 9 | 3 | 1 | 2 | 1 | 2 | | 1 | 3Cd,2Di | 4,0 | 21 | 50 | 29 | 9,6 | 4,3 |
| 049 | 628500/220930 | 20 | 70 | 22 | 1 | | 2 | 1 | | | 1 | 3Cd | 2,5 | 26 | 49 | 25 | 9,6 | 4,8 |
| 052 | | 23 | 10000001 | 7 | 1 | | 2 | | 1 | 1 | | 1Cd | 1,9 | 32 | 48 | 20 | 6,6 | 6,2 |
| 053 | | 20 | 82 | 10 | 2 | | 2 | 1 | | 1 | 1 | 1Cd | 2,1 | 2020/01/20 | 56 | 19 | 20,2 | 5,1 |
| 061 | | 10 | 88 | 4 | | | 6 | | 2 | | | | 2,3 | 30 | 53 | 17 | 1,0 | 1,8 |
| 100000000000000000000000000000000000000 | 629100/225275 | 10 | 77 | 14 | 2 | | 2 | | 3 | 1 | 1 | | 1,2 | 53/155 | 61 | | 17,4 | 0,5 |
| 100000000000000000000000000000000000000 | 621600/222300 | 18 | 90 | 3 | | | 5 | 1 | 1 | | | | 2,4 | 2501532005 | 56 | 17 | 3,4 | 0,2 |
| 100 | | 15 | 48 | ١. | | | 1 | _ | _ | | | | 2,4 | 0000000 | 44 | 14 | 12,5 | 1,1 |
| 102 | | 31 | 92 | 4 | 1 | | 1 | 1 | 2 | | | | 4,3 | | 45 | 19 | 13,4 | 1,7 |
| 103 | | 24 | 78 | 10 | 3 | | 5 | | | | 1 | lAh | 1,4 | 26 | 54 | 19 | 3,9 | 0,3 |
| 125 126 | | 22 48 | 93 87 | 3 | 2 | | | | | | 1 | 20.4 | 3,4 | | | | 10,1 | 0,9 |
| 152 | | 33 | 88 | 6 | 2 | | 1 | | | 1 | 3 | 3Cd 1Cd,1Di | 1,7 | | | | 2,0 7,7 | 0,9 |
| 157 | | 24 | 91 | 4 | 4 | 1 | 1 | 1 | | 1 | 2 | lAh | 2,6 | | | | 9,8 | 3,7 |
| 13, | 010023/21/3/3 | 23 | 71 | ~ | l | 1 - | l | - | | | - | 12511 | 1,3 | | | | 7,0 | 3,7 |
| | | | | | | " 1 | AQUI | TAN | NIEN | 1 " | | | | | | | | |
| 034 | 630200/232300 | 4 | 59 | 2 | | | | | 1 | | | | 0,7 | 19 | 72 | 9 | 3,6 | 3,8 |
| 035 | | 13 | . socializa | 15 | 4 | | 12 | | 14 | | 3 | 1Ba | 0,3 | 22 | | 12 | 3,0 | 3,0 |
| 036 | | 26 | 1954015019 | 23 | 1 | | 13 | | 17 | | 1 | IDα | 0,5 | 23 | | 15 | 9,9 | 0,5 |
| 059 | | 40 | 12 | 56 | - | | 8 | 1 | 16 | 2 | 5 | | 0,1 | 19 | | 21 | 17,7 | 0,9 |
| 094 | * (1.1.1.1.1.1.1.1.1.1.1.1.1.1.1.1.1.1.1. | 18 | 77 | 4 | 3 | | 10 | - | 4 | - | 250 | lDi | 2,0 | 30 | | 14 | 26,6 | 0,9 |
| 097 | The residence of the second se | 22 | 49 | 36 | 4 | | 3 | | 7 | | _ | 1Cd | 0,7 | 22 | | 12 | 4,8 | 3,3 |
| 098 | 623000/224590 | 15 | 79 | 13 | | | 2 | | 5 | | 1 | | 3,3 | 31 | 63 | 6 | 2,3 | 0,5 |
| 138 | 627300/231000 | 30 | 37 | 43 | 7 | | 4 | | 1 | 4 | | 1Cd | 0,3 | | | | 7,7 | 1,5 |
| 144 | 624625/227700 | 5 | 92 | 4 | l | 2 | | | 1 | | | | 0,9 | | | | 0,4 | 0,5 |
| 165 | 615820/215040 | 26 | 76 | 10 | 4 | 3 | | | | 3 | 2 | lAh, lPy | 0,3 | | | | 12,4 | 4,1 |
| | | | | | | | | m | | | | | | | | | | |
| | | | | | | " (| CHAT | TIE | N. | | | | | | | | | (6) |
| 047 | 629600/234650 | 49 | 54 | 27 | | | 5 | 1 | 9 | 3 | | lDi | 1,1 | 24 | 56 | 20 | 4,5 | 4,6 |
| 091 | and the state of t | 53 | 46 | 25 | 7 | | 8 | 3 | 2 | 9 | | 100-T0-T0 | -,- | | 57 | 000000000000000000000000000000000000000 | 9,9 | 1,1 |
| 092 | | 24 | 16 | | 8 | | 7 | 5 | 9 | 1 | | | 0,1 | | 57 | nors and | 30,4 | 0,6 |
| 139 | | 37 | 80 | 9 | 3 | | 4 | | | 2 | | lDi,lPy | 1,3 | | | | 8,9 | 1,2 |
| 140 | 630775/236025 | 110 | 50 | 20 | 4 | | 19 | 2 | 2 | 3 | | 200 S . | 2,4 | | | | 30,5 | 1,6 |
| 141 | 631600/237900 | 53 | 40 | 40 | 8 | 1 | 9 | | 1 | 1 | | | 0,6 | | | | 20,3 | 0,1 |
| 200000000000000000000000000000000000000 | 631550/237775 | 40 | | 23 | 3 | 1 | 2 | 1 | 1 | 2 | | | 1,3 | | | - 1 | 11,3 | 2,0 |
| 143 | AND THE PROPERTY OF THE PROPER | 80 | 24 | 34 | 0.0000000000000000000000000000000000000 | | 11 | 2 | 1 | 18 | | | 0,1 | | | | 2,2 | 1,7 |
| 1 1 45 | 631525/236550 | 35 | 60 | 19 | 8 | 1 | 6 | | 3 | 3 | | | 0,9 | | | | 31,8 | 2,2 |
| 145 | | CA | 53 | 31 | 7 | | 2 | | 6 | 1 | 18 | | 3,7 | 20 | 200 | | 31,7 | 2,2 |
| 146 | 631525/236600 | Second | | | | 2 | 3 | 1 | 1 | 12 | - 1 | | 0,2 | 61 | 3/ | | | |
| 146 183 | 631525/236600 626425/233980 | 78 | 1 | 62 | 18 | | - 1 | | | ' | | 1 | Sec. 18 | | | | 19,7 | 5,5 |
| 146 183 184 | 631525/236600 626425/233980 626700/234000 | 78 95 | 1 | 72 | 6 | 3 | | | 2 | 16 | | 10r | 0,1 | 58 | 37 | 5 | 17,5 | 5,2 |
| 146 183 184 185 | 631525/236600 626425/233980 626700/234000 626700/234000 | 78 95 49 | | 72 60 | 6 13 | | 2 | | 2 | 17 | | lOr lDi | 0,1 | 58 63 | 37 34 | 5 | 17,5 29,4 | 5,2 4,3 |
| 146 183 184 185 186 | 631525/236600 626425/233980 626700/234000 626700/234000 626700/234000 | 78 95 49 250 | 1 | 72 60 56 | 6 13 14 | 3 5 | 2 | 2 | 2 | 17 21 | | lDi | 0,1 0,2 0,2 | 58 63 66 | 37 34 30 | 5 3 4 | 17,5 29,4 10,7 | 5,2 4,3 3,7 |
| 146 183 184 185 186 187 | 631525/236600 626425/233980 626700/234000 626700/234000 626700/234000 626700/234000 | 78 95 49 250 221 | 1 | 72 60 56 46 | 6 13 14 8 | 3 | 2 | 2 | 2 | 17 21 36 | | Section 10 | 0,1 0,2 0,2 0,2 | 58 63 66 54 | 37 34 30 38 | 5 3 4 8 | 17,5 29,4 10,7 31,7 | 5,2 4,3 3,7 1,4 |
| 146 183 184 185 186 187 188 | 631525/236600 626425/233980 626700/234000 626700/234000 626700/234000 626700/234000 627250/235230 | 78 95 49 250 221 11 | 1 | 72 60 56 46 15 | 6 13 14 8 3 | 3 5 2 | 2 6 3 | 1 | 2 2 3 | 17 21 36 2 | | lDi 2Di | 0,1 0,2 0,2 0,2 0,5 | 58 63 66 54 67 | 37 34 30 38 29 | 5 3 4 8 4 | 17,5 29,4 10,7 | 5,2 4,3 3,7 |
| 146 183 184 185 186 187 188 189 | 631525/236600 626425/233980 626700/234000 626700/234000 626700/234000 626700/234000 | 78 95 49 250 221 | 1 | 72 60 56 46 | 6 13 14 8 | 3 5 | 2 | | 2 | 17 21 36 | | lDi | 0,1 0,2 0,2 0,2 0,5 0,7 | 58 63 66 54 | 37 34 30 38 29 22 | 5 3 4 8 | 17,5 29,4 10,7 31,7 | 5,2 4,3 3,7 1,4 |

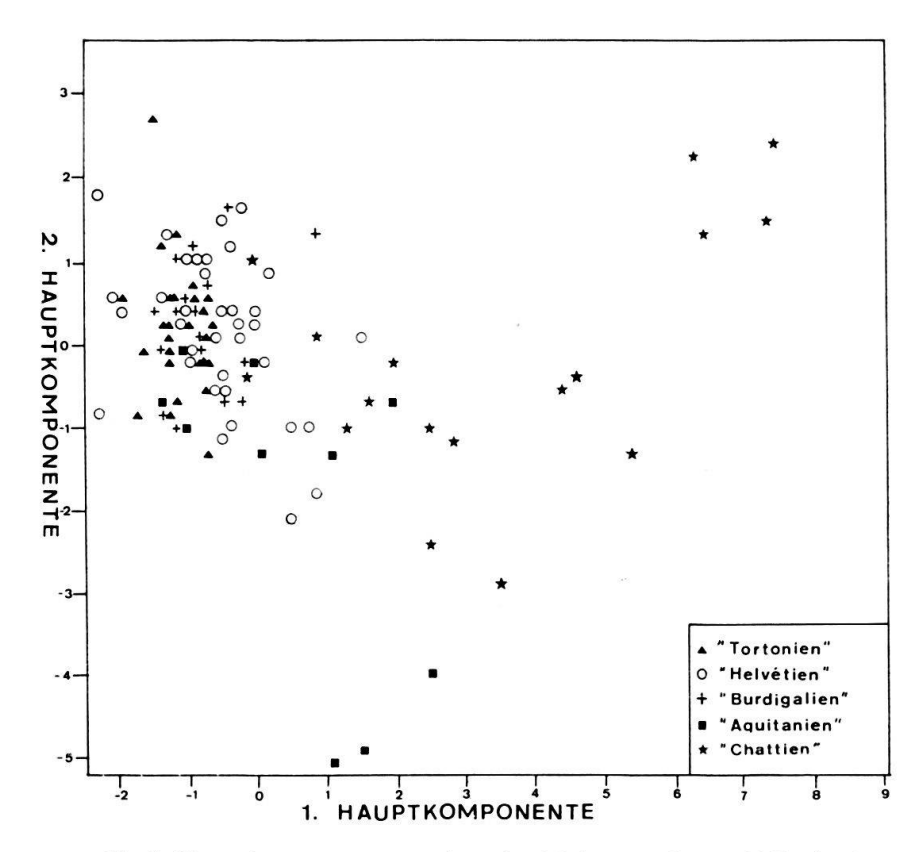


Fig. 8. Hauptkomponentenanalyse der Molasseproben (109 Proben).

schaulicht auf eindrückliche Weise die Gruppenunterschiede. Dabei unterscheiden sich das «Chattien» zum «Aquitanien», «Burdigalien», «Helvétien» und «Tortonien» sowie das «Aquitanien» zum «Helvétien» und «Tortonien» signifikant (=95%-Schwelle). Die anderen Kombinationen sind nichtsignifikant. Als Gruppenunterschiede gilt für das «Chattien» der Epidot (zum «Burdigalien» und «Tortonien»), der Apatit (zum «Helvétien») und die Hornblende (zum «Aquitanien»). Das «Aquitanien» unterscheidet sich durch den Zirkon vom «Helvétien» und vom «Tortonien». Die zur Gruppentrennung beitragenden Schwerminerale sind innerhalb der Kästchen nach ihrer Wichtigkeit geordnet (von oben nach unten).

Die Qualität der Trennbarkeit der Gruppen ergab sich aus den Histogrammen (vgl. Fig. 9). Sich wenig überschneidende Figuren bilden dabei eine bessere Trennung. Als weiteren Hinweis haben wir auf Figur 9 das sogenannte Bestimmtheitsmass R² angegeben (darunter wird das Quadrat des multiplen Korrelationskoeffizienten verstanden), welches die Differenz der Mittelwerte der Gruppen numerisch ausdrückt. Es erreicht Werte von 0 (keine Trennung) bis maximal 1 (optimale Trennung).

Versuchen wir, die Resultate der statistischen Auswertung zu interpretieren, so können folgende Aussagen gemacht werden: Die auf der Figur 8 dargestellten Hauptkomponenten erbrachten lediglich einen Hinweis für einen deutlichen Unterschied des «Chattien» gegenüber den anderen informalen Stufen. Bei dem mit Hilfe diskriminanzanalytischer Methoden durchgeführten paarweisen Gruppenvergleich (vgl. Fig. 9) waren sämtliche dem «Chattien» gegenübergestellten Gruppen signifi-

KLASSENMITTEN Y

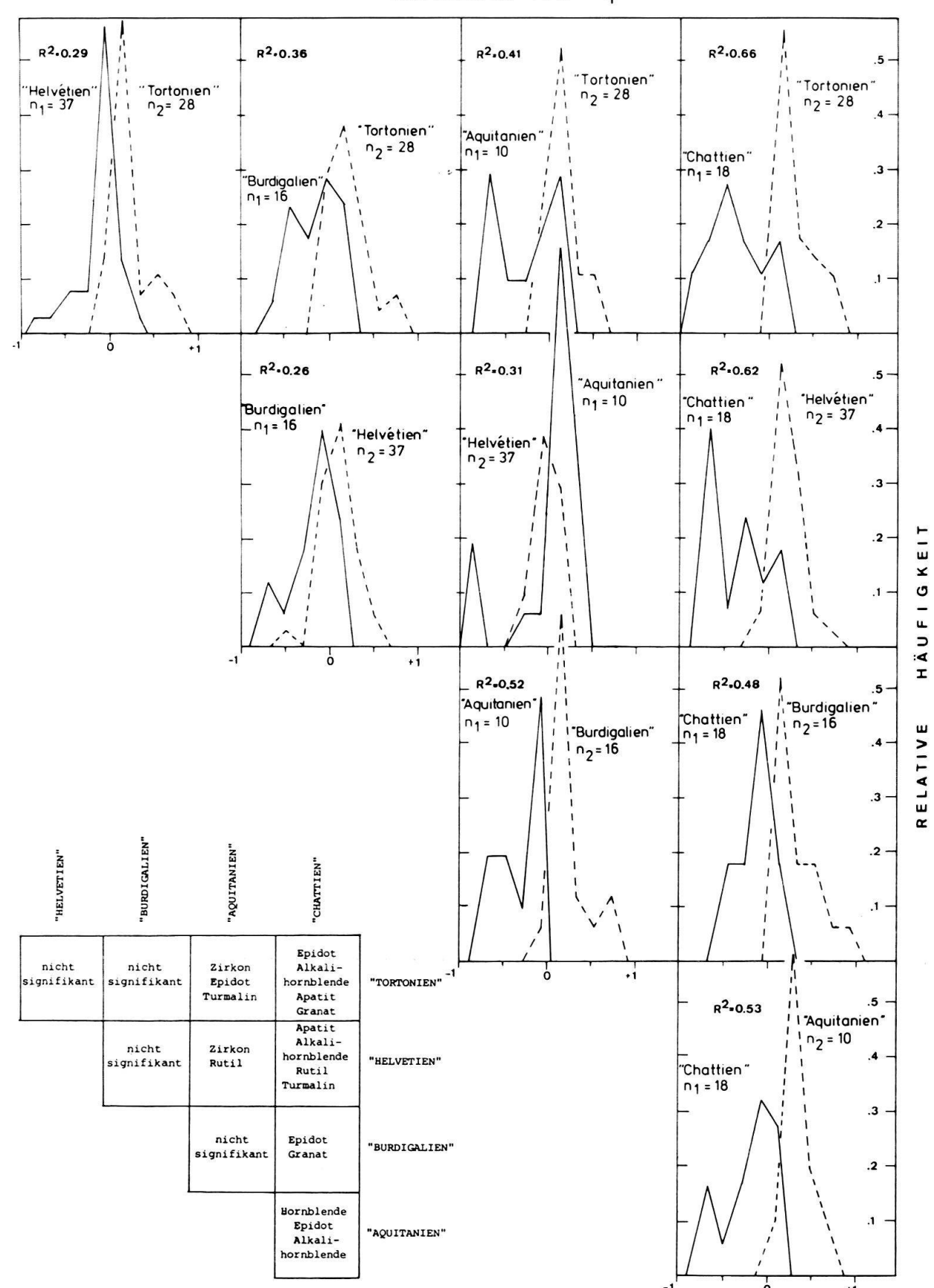
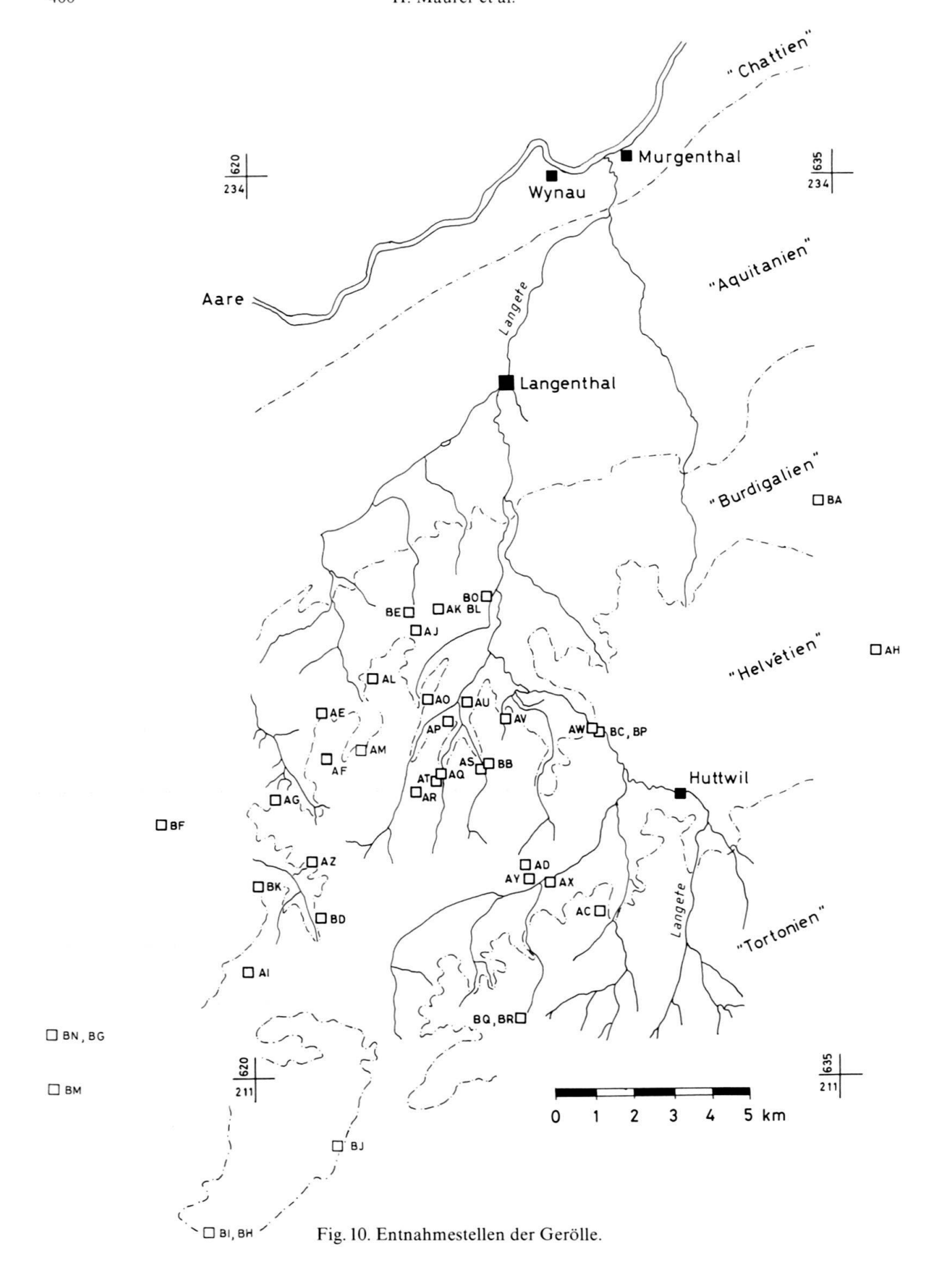


Fig. 9. Histogramme sowie Signifikanztest von Schwermineralen.

400



kant (95%-Schwelle) unterscheidbar. Diese beobachtbaren Unterschiede resultieren von bestimmten Variablen, nämlich der Schwerminerale (vgl. Fig. 9, kleines Diagramm), die damit auf eine Veränderung des im Hinterland der Erosion anheimgefallenen Gesteines hinweisen. So bestätigt der paarweise Gruppenvergleich in einer kontinuierlichen Zeitfolge die einschneidende Änderung im höheren «Chattien». Geringfügige schwermineralogische Unterschiede, wie sie im «Aquitanien» und bis ins «Tortonien» auftreten, sind lediglich auf unterschiedliche Transportweiten zurückzuführen.

9. Geröllanalysen

Den in der Molasse des Oberaargaus (Einzugsgebiet der Langete und Raum Burgdorf) auftretenden Nagelfluhhorizonten wurde ein besonderes Augenmerk gewidmet. Nach Gerber (1950) bilden sie einen gewichtigen Punkt für die zeitliche Einordnung von einzelnen Molassestufen und sind auch im Gelände ein gutes Hilfsmittel für den kartierenden Geologen.

Insgesamt wurden 41 Nagelfluhproben sowie eine Probe quartären Schotters zu je 200 Geröllen ausgezählt. Dabei wurden acht verschiedene, typische Gesteinsklassen ausgeschieden (vgl. Tab. 7), die vier verschiedenen Nagelfluhhorizonten zugeordnet wurden.

Zur Überprüfung des umfangreichen Datenmaterials führten wir eine Faktoren-Analyse durch. Wie auf Figur 11 dargestellt – sie ist als aufgeklappter Würfel zu betrachten –, nehmen die Nagelfluhproben des «Burdigalien» (5 Proben, Leithorizonte Lh1, 1a und 2a im Sinne von Gerber 1950) eine isolierte Stellung ein. Wie anhand der Tabelle 7 leicht erkennbar ist, besitzen diese Proben einen Kristallinanteil, der im Mittel bei 30% liegt und in den jüngeren Horizonten stark abnimmt.

Der an der Grenze «Burdigalien»-«Helvétien» gelegene Leithorizont 3 nimmt auf Figur 11 eine intermediäre Stellung ein. Auch hier ist er das Bindeglied von «Burdigalien»- und «Helvétien»-Nagelfluhproben (Lh4).

Die Gerölle des «Helvétien» und des «Tortonien» sind untereinander nicht mehr differenzierbar, da das «Helvétien» in diesem Gebiet teilweise nicht mehr marin, sondern wie das «Tortonien» fluvioterrestrisch geschüttet wurde.

Zusammenfassend ergibt sich aus der Geröllbestimmung eine augenfällige Trennung der Leithorizonte Lh1, 1a und 2a, der Leithorizont Lh3 zeigt eine intermediäre Stellung, wogegen sich in den stratigraphisch höher gelegenen Nagel-fluhhorizonten die lithologische Zusammensetzung – hauptsächliche Anteile sind Gangquarze, feinkörnige Flyschsandsteine und allgemeiner Sandstein – konsolidiert.

10. Sedimentpetrographie der Bohrung Altishofen 1 (vgl. Fig. 12)

Die 14 km östlich Langenthal gelegene Bohrung Altishofen 1 (Koord. 640.3/228.1) wurde im Juli 1952 begonnen und im Oktober 1954 bei einer Endteufe von 2166 m in der Anhydritgruppe des Muschelkalks abgeschlossen. Eine ausführliche lithologische Beschreibung dieser Bohrung findet man bei Kopp (1952, 1955) sowie bei Vonderschmidt & Tschopp (1953). Im Profil des tertiären Anteils durchteufte die Bohrung das «Burdigalien» (25-322 m), das «Aquitanien» (322-842 m), eine

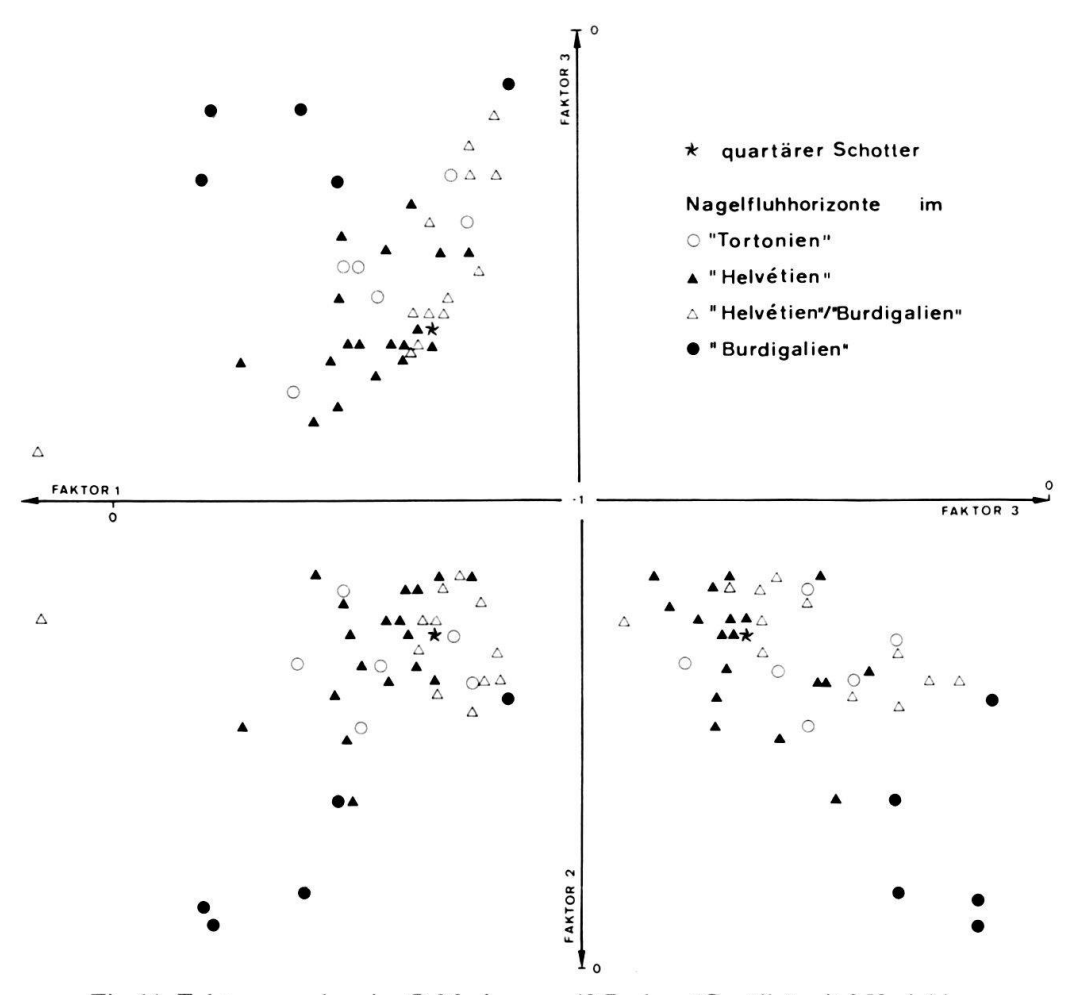


Fig. 11. Faktorenanalyse im Q-Modus von 42 Proben (Gerölle) mit 8 Variablen.

Kalksandsteinserie (842-1030 m) und das «Chattien» (1030-1302 m). Eine Zuordnung der Kalksandstein-Serie zum Aquitanien oder Chattien konnte mangels Fossilien nicht vorgenommen werden. Wir stellten uns die Aufgabe, mittels sedimentpetrographischer Untersuchungen ein Profil dieser Bohrung zu erstellen sowie eine Zuordnung der Kalksandstein-Serie zu treffen. Erst dadurch eröffnete sich uns die Möglichkeit, die auf Blatt Langenthal untersuchten Proben durch einen Vergleich mit der Bohrung Altishofen 1 einzuordnen.

An 19 Kernproben der Bohrung Altishofen 1, die grösstenteils aus Sandsteinen bestanden, wurden die Schwerminerale, Leichtminerale und der Karbonatgehalt bestimmt. Dabei ergaben sich charakteristische Abfolgen, die auf der Figur 12 dargestellt sind.

Die für das «Burdigalien» (1 Probe) charakteristische SM-Assoziation besteht zu 89% aus Epidot mit Nebengemengteilen (<10%) von Apatit sowie dem signifikanten Schwermineral Alkalihornblende (1%).

Das «Aquitanien» (4 Proben) ist ebenfalls durch die Dominanz des Epidots geprägt, wobei jedoch im tiefsten Teil – bedingt durch eine andere Schüttung – der Apatit (Probe 817 m) vorherrscht. Wir sind zum Schluss gelangt, mit Beginn dieses Umschlages hier die Grenze zwischen «Aquitanien» und «Chattien» zu legen,

Tabelle 7: Zusammenstellung der Geröllzählungen in der Molasse des Oberaargaus.

| | | | | Zählresultate (Ø aus 2 x 100) | | | | | | | | |
|----|-----------------------------|---------------|-----------------------|-------------------------------|---------------------------|-----------------------|------------|---------------------------------|--------------------------|-------------------|-----------|-------------------------------|
| Nr | . Lokalität | Koordinaten | Höhe (m) über Meer | Metamorphite | rote und grüne Granite | übriges Kristallin | Gangquarze | feinkörnige Flyschsandsteine | allgemeine Sandsteine | helle Quarzite | Karbonate | Leithorizont Nr. (vgl. Fig.1) |
| BF | Rehhalde | 617675/217450 | 550 | 4,5 | 9 | 17 | 23,5 | 9 | 11,5 | 22,5 | 3 | 1 |
| BG | NE Burgdorf | 614810/212075 | 560 | 3 | 23,5 | 18 | 13,5 | 18 | 14 | 9,5 | 0,5 | 1 |
| BN | Gisnauflüe | 614800/212075 | 560 | 1,8 | 19,0 | 13,3 | 21,7 | 15,5 | 16,4 | 10,2 | 2,1 | 1 |
| вм | 3 Höhlen | 614875/210960 | 590 | 3,8 | 23,8 | 13,8 | 21,9 | 7,6 | 16,7 | 7,6 | 4,8 | la |
| во | SE Obere Bisig | 626075/223560 | 600 | 1,5 | 6,0 | 6,0 | 38,5 | 14,0 | 13,0 | 19,5 | 1,5 | 2a |
| AM | Lünschberggraben | 622500/219250 | 700 | 4 | 5 | 2,5 | 27 | 16,5 | 14,5 | 16,5 | 14 | 3 |
| AO | Vord.Stutz- Müligstüel | 624650/220800 | 680 | 4 | 2,5 | 5 | 32,5 | 18,5 | 11,5 | 15,5 | 10,5 | 3 |
| AU | Ursenbach | 625550/220700 | 600 | 7,5 | 4,5 | 3 | 22 | 21 | 15,5 | 16,0 | 10,5 | 3 |
| AW | Rohrbach | 628850/220000 | 600 | 6 | 5,0 | 3,5 | 21 | 22,5 | 12,0 | 19,0 | 11 | 3 |
| ва | E Altbüron | 634700/226000 | 665 | 5,5 | 5 | 4,7 | 31 | 13,7 | 10,7 | 23,1 | 6,2 | 3 |
| ВС | Rohrbach | 628825/220000 | 600 | 4,8 | 3 | 6,7 | 30,9 | 13,7 | 11,8 | 16,8 | 12,3 | 3 |
| AI | Leumberg | 619300/214000 | 800 | 1,5 | 4 | 11 | 23,5 | 30,5 | 4,5 | 19,5 | 5,5 | 3 |
| AZ | Chapplenbad | 621550/216450 | 700 | 2 | 6 | 6,5 | 27,5 | 23,5 | 6 | 21,5 | 7 | 3 |
| вк | Cheer | 620175/215850 | 700 | 5 | 7 | 5 | 29,5 | 21,5 | 19 | 9,5 | 3,5 | 3 |
| BD | N Vitzhus | 621750/215100 | 710 | 5,5 | 9,5 | 5 | 22 | 21,5 | 9 | 15,5 | 12 | 3 |
| BE | NW Dornegg | 624050/223200 | 700 | 2 | 9 | 2 | 36,5 | 14 | 18 | 15,5 | 3 | 3 |
| AJ | Linden | 624250/222600 | 700 | 8,5 | 3,5 | 7,5 | 19 | 17 | 13,5 | 16 | 15 | 4 |
| AK | Buechwald | 624850/223160 | 710 | 8,5 | 7,5 | 9 | 21 | 18 | 13,5 | 13,5 | 9 | 4 |
| BL | Buechwald | 624850/223160 | 710 | 3,2 | 4,6 | 7,8 | 17,9 | 31,2 | 22,0 | 7,4 | 5,0 | 4 |
| AL | Chäppu | 623125/221350 | 700 | 8,5 | 7,5 | 7 | 21,5 | 24 | 9 | 13,5 | 9 | 4 |
| AN | Lünisberg | 623600/219475 | 670 | 5,5 | 5 | 4,5 | 30,5 | 18 | 12 | 12,5 | 12 | 4 |
| AQ | Graben bei Schützenhaus | 624800/218800 | 650 | 8 | 6 | 5 | 26 | 21 | 9 | 15 | 10 | 4 |
| AS | Tüelen bei Walterswil | 625950/218800 | 650 | 11 | 6,5 | 4,5 | 24,5 | 16 | 12 | 19,5 | 6,0 | 4 |
| AT | Bergwaldgraben Ursenbach | 624800/218600 | 680 | 10,5 | 4,5 | 4,5 | 20,5 | 13 | 13,5 | 17 | 16,5 | 4 |
| AR | NE Scheideggerhus | 624200/218400 | 710 | 6,5 | 6 | 5 | 29,5 | 16,5 | 13,5 | 12,5 | 10,5 | 4 |
| AV | Grauenstein Liemberg | 626600/220000 | 650 | 6,5 | 3,5 | 4 | 22,5 | 20 | 12,5 | 18,5 | 12,5 | 4 |
| AX | Rotbach bei Dürrenroth | 627725/216075 | 655 | 8 | 5,5 | 5,5 | 23,5 | 14,5 | 12 | 18 | 13 | 4 |
| AY | Breiten bei Dürrenroth | 627150/216050 | 700 | 7 | 3 | 4,5 | 22 | 15,5 | 18 | 18 | 12 | 4 |
| AE | Wanntal | 621850/220400 | 720 | 6 | 2 | 8,5 | 40,4 | 5 | 19,5 | 13,5 | 5 | 4 |
| AF | Wäckerschwand | 621925/219050 | 760 | 6 | 6,5 | 10,5 | 29,5 | 9,5 | 19,5 | 11 | 7,5 | 4 |
| AG | Unterhüseren | 620575/218200 | 740 | 8,5 | 2,5 | 15,5 | 19,0 | 5,5 | 25,0 | 12,5 | 10,5 | 4 |
| BP | Rohrbach | 628900/219975 | 620 | 1,4 | 8,0 | 6,1 | 27,0 | 12,0 | 21,8 | 16,1 | 7,6 | 4 |
| AD | N Dürrenroth | 627075/216475 | 820 | 3 | 4 | 3,5 | 23,5 | 32,0 | 11,0 | 10,5 | 12,5 | 4 |
| АН | Leibütz | 636200/222050 | 690 | 4,5 | 19 | 8 | 20 | | 11,0 | 15,0 | 7 | 4 |
| вв | N Walterswil | 626080/218900 | 640 | 5,4 | 5 | 9,3 | 27,4 | 19 | 4,8 | 21,3 | 7,7 | 4 |
| AC | Wyssachen | 629030/215185 | 740 | 3,5 | 18,0 | 5 | | | 8,5 | | 13,0 | Tort |
| ВН | Geinisberg | 618950/206950 | 680 | 4 | 3,5 | 7,5 | 34 | 18,5 | 12,5 | 14 | 6 | Tort |
| ві | Geinisberg | 618950/206952 | 683 | 9,5 | 4,5 | 8,5 | 21,5 | 13,5 | 22,5 | 10,5 | 9,5 | Tort |
| BJ | W Gammenthal | 622150/209350 | 770 | 4,5 | 6 | 7 | 24 | 21,5 | 20,5 | 6 | 10,5 | Tort |
| BQ | Guggli I | 626925/212450 | 920 | 3,6 | 2,6 | 2,6 | 13,0 | 15,6 | 45,1 | 6,2 | 10,3 | Tort |
| BR | Guggli II | 626925/212450 | 960 | 2,5 | 5,0 | 3,5 | 16,5 | 12,0 | 35,5 | 20,0 | 5,0 | Tort |

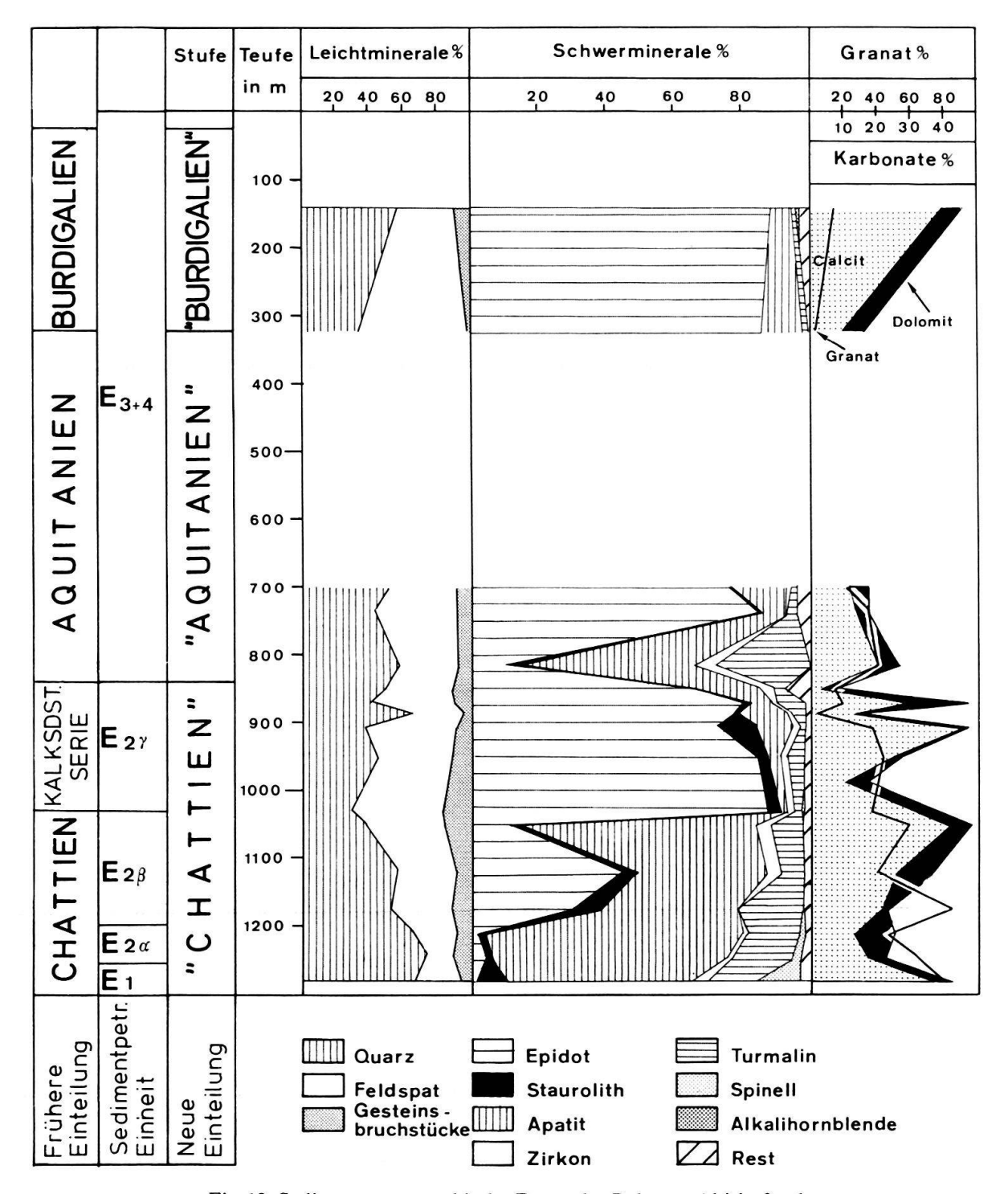


Fig. 12. Sedimentpetrographische Daten der Bohrung Altishofen 1.

wodurch die im Liegenden folgende Kalksandstein-Serie in das «Chattien» gestellt wird. Gegen unten zu zeichnen sich die obersten Teile der Kalksandstein-Serie, die wir neu ins «Chattien» stellen (12 Proben), durch eine Umgestaltung in der Schwermineralführung ab, indem zunächst der Granatgehalt auf mehr als 30%, der Calcitgehalt durchschnittlich auf 25% ansteigt. Die kurzfristige Vormachtstellung des Apatits an der Wende «Aquitanien»-«Chattien» wird gegen unten wiederum

von einer deutlichen Epidotvormacht beherrscht, welche bis zu einer Teufe von 1030 m anhält und von da ab gegen das Liegende vom zunehmenden Apatit verdrängt wird. An Nebengemengteilen sind in diesem Abschnitt Staurolith und Turmalin vorhanden. Von 1200 bis 1302 m tritt neben dem Apatit erstmals der Spinell hinzu – ein Schwermineral, welches für das tiefere «Chattien» Leitwert besitzt.

10.1 Anteil der verschiedenen Schüttungen in der Bohrung Altishofen 1

Die Bohrung Altishofen 1 liegt etwa 30 km nördlich der Alpenrandüberschiebung und befindet sich im Einflussbereich mehrerer Schüttungen.

Obere Meeresmolasse («Burdigalien»)

Napf-Schüttung (25-322 m): Grünliche mittelkörnige Sandsteine mit vereinzelt auftretenden Tonlinsen sowie Glaukonit.

Schwerminerale: etwa 90% Epidot, akzessorisch Alkalihornblende. Leichtminerale: 55% Quarz, 36% Feldspat, 9% Gesteinsbruchstücke.

Karbonatgehalt: 40% Calcit, 5% Dolomit.

Untere Süsswassermolasse («Aquitanien» und «Chattien», vgl. Fig. 15)

Vier Schüttungen beteiligen sich am Aufbau der Unteren Süsswassermolasse. Es sind dies die Schuttfächer der aquitanen Napf-Schüttung, der Thunersee-Schüttung und der Genfersee-Schüttung sowie einer aus dem Entlebuch stammenden Schüttung, die wir als Entlebuch-Schüttung bezeichnen.

Aquitane Napf-Schüttung (322 bis etwa 800 m): Sie besteht aus einer Wechsellagerung feinkörniger, bunter Siltsteine und Sandsteine (fein bis grob) mit vereinzelt auftretenden Tonlinsen.

Schwerminerale: etwa 80% Epidot sowie ein mit zunehmender stratigraphischer Tiefe steigender Granatgehalt.

Leichtminerale: 51% Quarz, 41% Feldspat, 8% Gesteinsbruchstücke.

Karbonatgehalt: 11,5% Calcit, 5% Dolomit.

Thunersee-Schüttung und Genfersee-Schüttung (etwa 800 bis etwa 1200 m, höheres «Chattien»)

Von etwa 840 bis etwa 1030 m (Kalksandstein-Serie) kommen in der Bohrung grünliche bis rote Mergel, Mergelsandsteine, grauschwarze Tonmergel und Kalksandsteine vor. Darunter (etwa 1030 bis etwa 1200 m) folgen fleckige Mergel und Mergelsandsteine mit grauen, glimmerreichen Kalksandsteinen und dezimeterdikken Konglomeratlagen. Anhand der Schwermineralspektren lässt sich in diesem Abschnitt ein gegenseitiges Verfingern zweier Schüttungen, nämlich der Thunersee-Schüttung und der Genfersee-Schüttung, feststellen. Im proximalen Teil, d.h. an ihren Austrittsstellen, sind diese zwei Schüttungen durch folgende charakteristische Schwerminerale erkennbar.

Thunersee-Schüttung: Epidot bis zu 90%.

Genfersee-Schüttung: Apatit, Epidot, Staurolith, Granat und Turmalin.

In der Bohrung Altishofen 1 ist keine der beiden Schüttungen mit ihren reinen SM-Spektren vertreten, sie bilden vielmehr eine Kombination verschiedener SM-Vergesellschaftungen.

Schwerminerale: Apatit, Epidot, beide stark schwankend, daneben Staurolith, Granat und Turmalin.

Leichtminerale: 48% Quarz, 39% Feldspat, 11% Gesteinsbruchstücke; von 1030 bis 1302 m nimmt der Quarzgehalt ständig zu.

Karbonatgehalt: Im Mittel etwa 23% Calcit und 6% Dolomit.

Entlebuch-Schüttung (1200-1302 m, tieferes «Chattien»)

Feinkörnige, bunt gefärbte Siltsteine in Wechsellagerung mit grauen Sandsteinen.

Schwerminerale: Granat, Apatit und Spinell.

Leichtminerale: 70% Quarz, 22% Feldspat, 8% Gesteinsbruchstücke.

Karbonatgehalt: 22% Calcit, 6% Dolomit.

Die rein nach sedimentpetrographischen Kriterien erfolgten Unterteilungen in diverse sedimentpetrographische Einheiten (vgl. MAURER et al. 1978, 1980) lassen sich auch in der Bohrung Altishofen 1 durchführen und sind denjenigen der Bohrung Linden 1 sehr ähnlich.

11. Beziehung zwischen Lithologie und Sedimentpetrographie in der Unteren Süsswassermolasse (Bohrungen von Wynau)

Das durch Ölimprägnationen von Sandsteinen bekanntgewordene Molassegebiet zwischen Aarwangen und Aarburg löste schon vor Jahrzehnten eine intensive Kartierung aus, die uns einen recht guten Einblick in die zum Teil mit Fossilien belegte Lithologie vermittelt. Nach Fröhlicher (1935), zitiert in Erni & Kelterborn (1948), wurde dabei folgende Gliederung erzielt:

| | Marine Molasse Obere bunte Molasse Kalksandstein-Serie Untere bunte Molasse | «Helvétien» und «Burdigalien» «Aquitanien» «Aquitanien»?, oberes «Chattien» | 500 m mächtig 100 m mächtig |
|-----|---|---|--------------------------------|
| USM | (mit Ölsanden) | Oberes «Chattien» | 300 m mächtig |
| | Aarwanger Molasse | Unteres «Chattien» | 150 m mächtig |
| | Wynauer Kalk | Unteres «Chattien» | 30 m mächtig |

Im Zuge eines geplante Neubaus des Kraftwerks Wynau wurden 1980 elf Sondierbohrungen abgeteuft. Für die sedimentpetrographischen Untersuchungen wurde uns das Kernprobenmaterial von den Elektrizitätswerken Wynau, Langenthal, zur Verfügung gestellt, von der Firma Colombi-Schmutz-Dorthe erhielten wir die geologischen Aufnahmen der Bohrungen.

Dieser glückliche Umstand erlaubte es uns, die aus den benachbarten Gebieten gewonnenen sedimentpetrographischen Daten zu ergänzen und insbesondere das «Chattien» besser kennenzulernen. Insgesamt wurden 23 Kernproben aus acht Bohrungen auf Schwermineral- und Karbonatgehalt untersucht. An neuen Proben erfolgten zusätzlich eine Korngrössenanalyse sowie die Bestimmung der Leichtminerale. Anhand der fundierten lithologischen Aufnahmen, die eine zeitliche Einord-

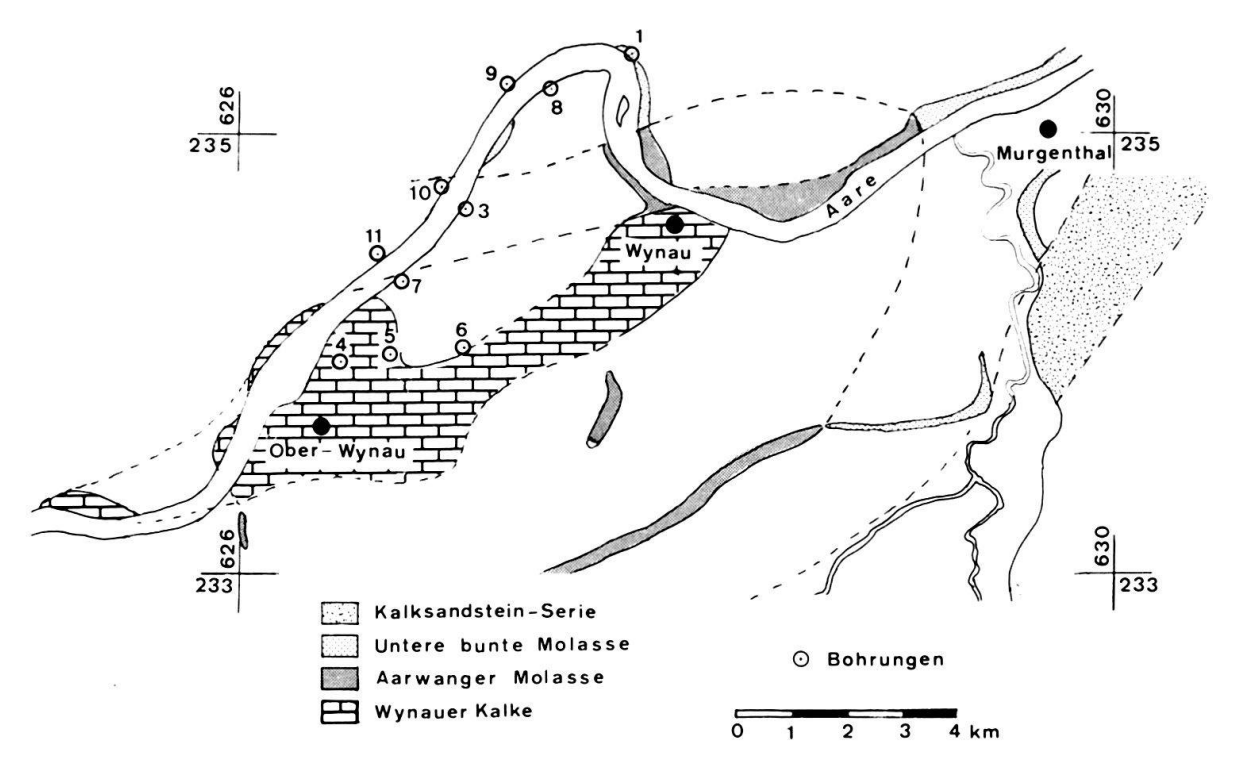


Fig. 13. Geologisches Kärtchen der Umgebung von Wynau nach Erni & Kelterborn (1948), ergänzt von Maurer et al. (1982).

nung gestatten, lassen sich vier verschiedene Schwermineralspektren erkennen (vgl. Fig. 14):

- 1. Das älteste erbohrte Schichtglied sind die Wynauer Kalke, die in den Bohrungen 4 und 5 durchteuft wurden. Ihre Schwermineralvergesellschaftung besteht aus Apatit, Staurolith, Turmalin, Spinell mit Nebengemengteilen von Zirkon. Akzessorisch treten Alkalihornblende und Disthen auf.
- 2. Die zwei Proben der Bohrung 11, die der Aarwanger Molasse (wahrscheinlich tieferer Teil) angehören, zeigen eine Granat-Apatit-Alkalihornblende-Vergesellschaftung mit Nebengemengteilen von Titanit und Turmalin.
- 3. Die Bohrungen 10 und 3 durchörtern sicherlich jüngere Schichten als Bohrung 11, da hier der Epidot auftritt. Sehr wahrscheinlich entsprechen sie der Aarwanger Molasse (höherer Teil). Ihre Schwermineralvergesellschaftung besteht aus Apatit, Epidot mit Nebengemengteilen von Turmalin, Zirkon, Spinell und Alkalihornblende.
- 4. Die jüngsten Proben stammen aus den Bohrungen 1, 8 und 9 und gehören der Unteren bunten Molasse an. Schwermineralogisch ist hier eine deutliche Übermacht von Epidot gegenüber Apatit vorhanden. Das vollständige Fehlen von Spinell und Alkalihornblende ist ein Hinweis für die jüngeren lithostratigraphischen Einheiten, im vorliegenden Fall für das obere «Chattien». Schwermineralogisch können diese Proben mit der Kalksandstein-Serie der Bohrung Altishofen 1 korreliert werden, was bedeutet, dass sich die Untere bunte Molasse und die darüber liegende Kalksandstein-Serie schwermineralogisch nicht unterscheiden lassen.

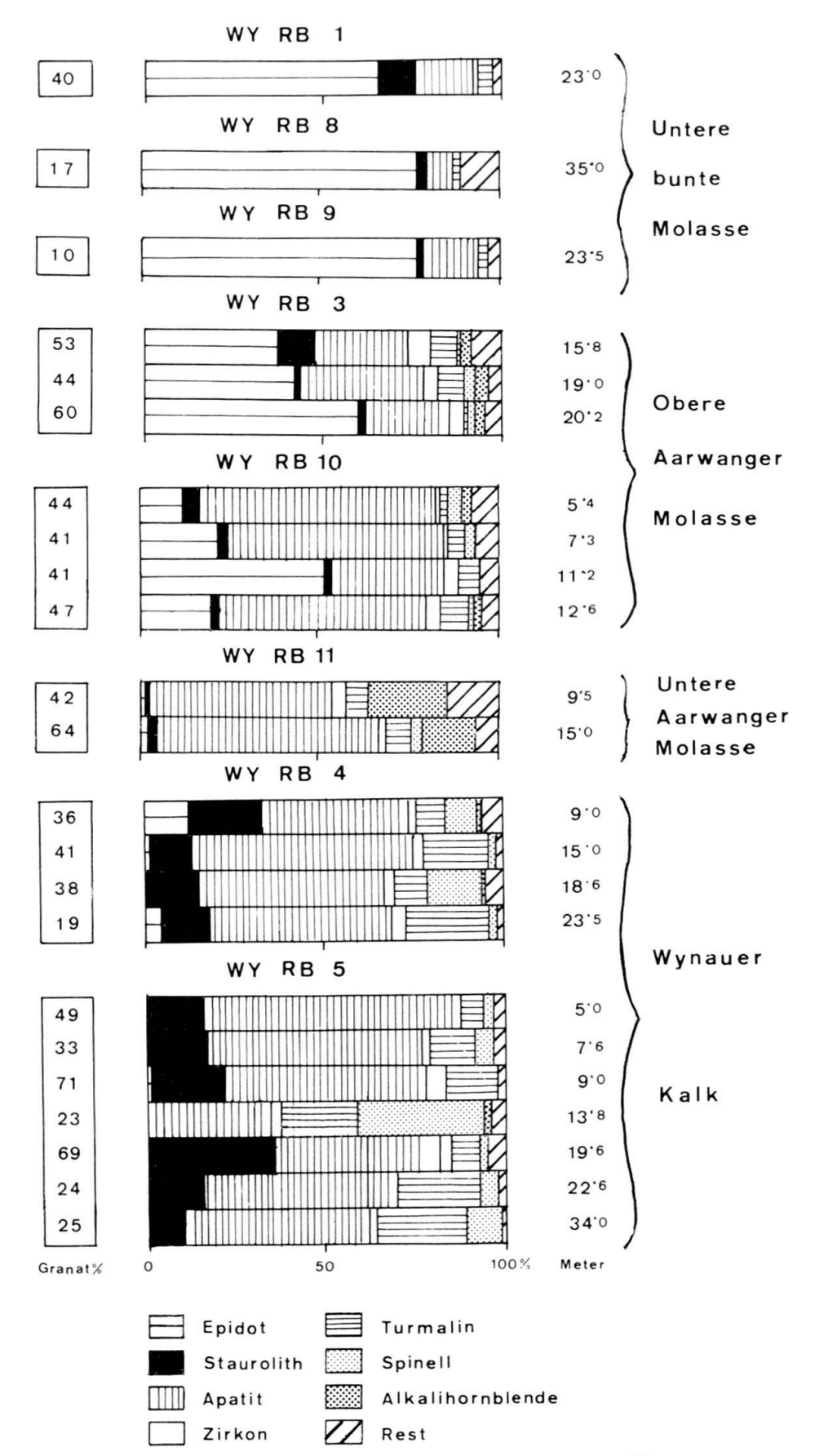


Fig. 14. Schwermineralverteilung in den Bohrungen von Wynau.

12. Schwermineralogischer Vergleich der Bohrungen Altishofen 1 und Wynau mit der Bohrung Ruppoldsried 1

Drei Schwerminerale sind es, die für eine Korrelation der Unteren Süsswassermolasse von Bedeutung sind, und zwar der Epidot, der Spinell und die Alkalihornblende. Mit dem Einsetzen des Epidots im höheren Teil der Unteren Süsswassermolasse kündigt sich eine völlige Änderung der distributiven Provinz an. Der Spinell besitzt einen ausgezeichneten Leitwert für das tiefere «Chattien» (und auch «Rupélien»). Die Alkalihornblende ist gleichfalls für das tiefere «Chattien» leitend und fehlt im höheren «Chattien».

Versucht man nun anhand dieser Charakteristika eine Korrelation von Altishofen 1 und Wynau mit der etwa 32 km WSW Wynau gelegenen Bohrung Ruppoldsried 1 (SCHLANKE et al. 1978) durchzuführen, so stösst man auf einige Schwierigkeiten. Zum ersten vermissen wir das Vorhandensein der Alkalihornblende (diese ist ein charakteristischer Bestandteil der axialen Genfersee-Schüttung und kommt sowohl südwestlich Ruppoldsried 1, nämlich in den Bohrungen Chapelle 1 und Courtion 1, wie auch östlich davon, nämlich in der Bohrung Wynau, vor). Zum zweiten zeigt die Bohrung Ruppoldsried 1 einen stark erhöhten Spinellgehalt⁶), der nach eigenen Untersuchungen nur sporadisch zu verzeichnen ist.

Wenn man trotz dieses Handicaps eine Korrelation bewerkstelligt, so wird ersichtlich, dass nach unseren Untersuchungen der Epidot viel früher einsetzt (in Wynau in der Oberen Aarwanger Molasse) als in Ruppoldsried 1 (Einsetzen des Epidots in der Unteren bunten Molasse). Demzufolge ist eine Korrelation äusserst problematisch, und es bedarf noch einiger Untersuchungen sowie Abklärungen.

13. Paläogeographische Schüttungsverhältnisse (vgl. Fig. 15)

Aus den Bohrungen Altishofen 1 und Wynau lassen sich die zeitlichen Abfolgen verschiedener SM-Vergesellschaftungen höchst instruktiv ableiten, und zwar wenn wir sie mit den zeitgleichen Schwermineralverteilungen in der subalpinen Molasse des Entlebuchs (Gasser 1966, 1968) und in der Bohrung Linden 1 (Maurer et al. 1978) vergleichen. Dadurch wird einem nicht nur der Schlüssel für die Interpretation der damaligen Ablagerungsverhältnisse gegeben, es lässt sich auch die Herkunft verschiedener Schüttungen rekonstruieren. Im folgenden wollen wir den Ablauf der Schüttungen im Raume Langenthal (vgl. Fig. 15) etwas näher beschreiben.

Mit der Verlandung des Rupélienmeeres beginnen im tieferen unteren «Chattien» an mehreren Stellen der werdenden Alpen Entwässerungssysteme ihre Materialfracht in das Molassebecken zu schütten. Nebst den zum überwiegenden Teil aus Sandsteinen und Mergeln bestehenden Gesteinen kommt es dabei lokal zur Bildung von Süsswasserkalken. Im Untersuchungsgebiet sind es die Wynauer Kalke (Bohrungen Wynau 4 und 5), deren SM-Vergesellschaftung aus Granat, Apatit,

⁶⁾ Wir stellen uns vor, dass die hohen Spinellwerte durch eine unterschiedliche Aufbereitungsmethode der Schwerminerale zustande kommen. Es fällt auf, dass bei den Untersuchungen Schwerminerale mit höherem spezifischem Gewicht zahlreicher vertreten sind (Spinell), solche dagegen mit niedrigem spezifischem Gewicht fehlen (Alkalihornblende).

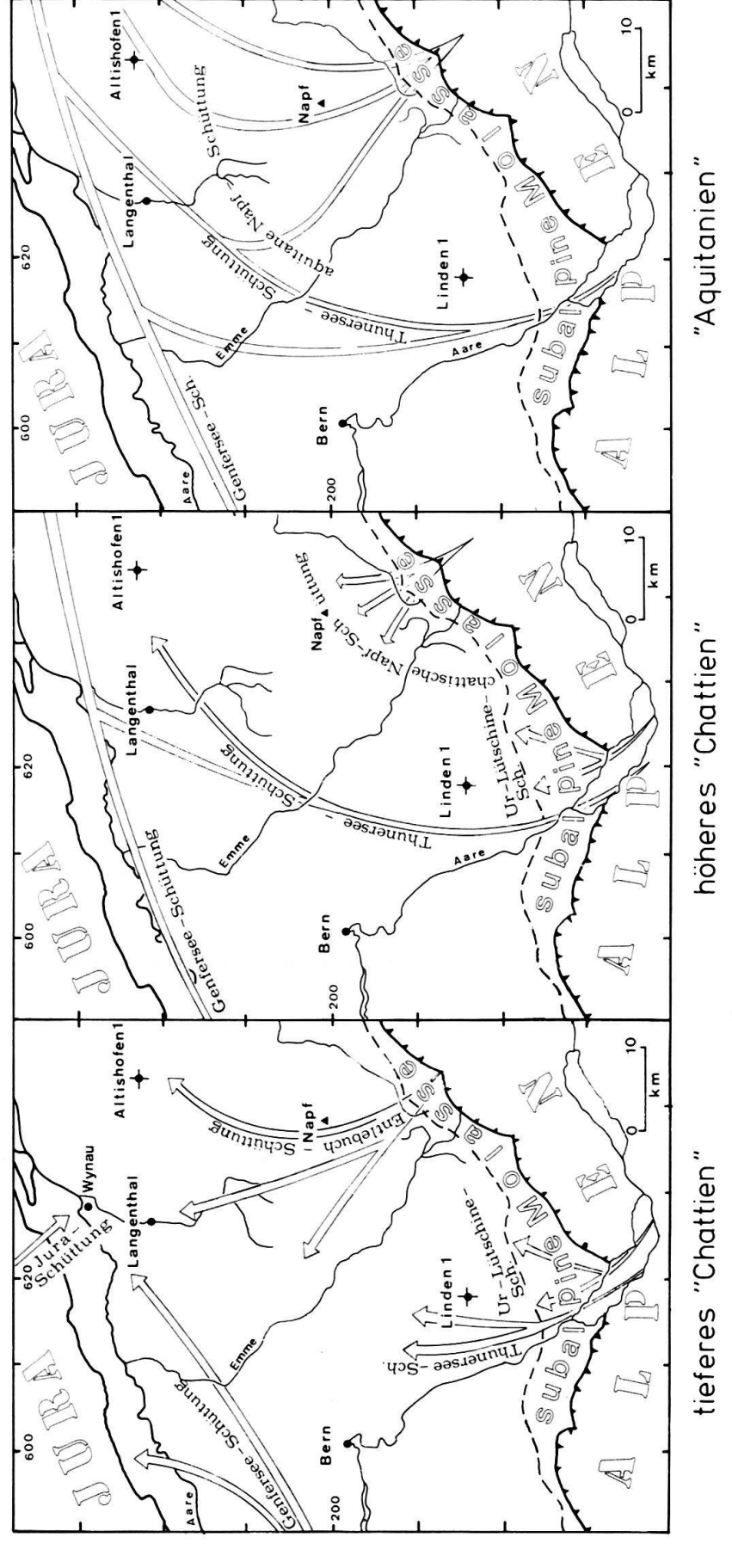


Fig. 15. Paläogeographische Schüttungsverhältnisse.

Turmalin, Staurolith, Spinell und akzessorisch aus Disthen besteht. Die Zuordnung dieses Spektrums zu einer bestehenden Schüttung an den Austrittsstellen (vgl. Tab. 8) bereitet keine Schwierigkeiten, lässt sich darin doch eindeutig eine Verfingerung von Entlebuch-Schüttung (Spinell), Jura-Schüttung (stabile Schwerminerale, Staurolith und Disthen) und geringfügigen Anteilen der Genfersee-Schüttung (Alkalihornblende) feststellen. Wir finden also in den ältesten Schichten der USM der Bohrung Wynau eine aus dem SSE (Entlebuch), eine aus NNW (Jura) und eine aus WSW (Genfersee) stammende Schüttung. In der Bohrung Altishofen 1 fehlt der Einfluss der Genfersee-Schüttung in den sedimentpetrographischen Einheiten E₁ und E₂₀.

Zur Zeit der Aarwanger Molasse (tieferes «Chattien») lassen sich zwei verschiedene SM-Spektren erkennen. In einem älteren Abschnitt (Bohrung Wynau 11) finden wir eine Schwermineralvergesellschaftung vor, die die typischen Merkmale der Genfersee-Schüttung (Alkalihornblende) besitzt. Im jüngeren Teil (Bohrungen Wynau 3 und 10) tritt innerhalb der Genfersee-Schüttung eine Änderung des SM-Spektrums auf, indem der Epidot als Hauptgemengteil (>18%) erscheint und die Alkalihornblende nur mehr akzessorisch vertreten ist. In der Bohrung Altishofen 1 ist der jüngere Abschnitt gleichfalls vorhanden und entspricht der sedimentpetrographischen Einheit E₂₆.

Die Untere bunte Molasse, die lithologisch wie auch schwermineralogisch dem höheren «Chattien» entspricht, ist in Wynau in den Bohrungen 1, 8 und 9 sowie in der Bohrung Altishofen 1 (Abschnitt E_{2y}) vorhanden. Schwermineralogisch ist dieser Abschnitt durch das gehäufte Auftreten (>75%) von Epidot charakterisiert. Die Zuordnung dieser SM-Spektren zu einer einzigen Schüttung, nämlich der Genfersee-Schüttung, ist wegen des hohen Epidotgehalts nicht möglich. Altersgleiche Proben der Genfersee-Schüttung zeigen in den Bohrungen der Westschweiz ein SM-Spektrum, in welchem Apatit und Epidot anteilsmässig gleich sind. Wir gelangen

Tabelle 8: Sedimentpetrographische Formeln verschiedener Schüttungen der USM an ihren Austrittsstellen in die flache Mittellandebene. Sie sind für die Korrelation sowie paläogeographische Rekonstruktion der Schüttungen von grösster Wichtigkeit, stellen sie doch die «ursprüngliche» Schwermineralvergesellschaftung dar. Das Schwermineralspektrum der Genfersee-Schüttung wurde aus den Bohrungen Chapelle 1, Courtion 1, Essertines 1 und Cuarny 1 ermittelt.

| | «Aquitanien» | |
|---|---------------------|-------------------------|
| Genfersee-Schüttung: g, E, a | • | |
| Aquitane Napf-Schüttung: g, E | | Q/F = 0.79 (24 Proben) |
| 4.50 | Höheres «Chattien» | |
| Genfersee-Schüttung: g, A, E, s | | |
| Thunersee-Schüttung: g, E | | Q/F = 0.58 (7 Proben) |
| Urlütschine-Schüttung: G, A, s | | Q/F = 0.70 (10 Proben) |
| Chattische Napf-Schüttung: G, A, Z | | Q/F = 0.76 (4 Proben) |
| | Tieferes «Chattien» | |
| Genfersee-Schüttung: G, A, e, s, s', ahbl | | |
| Jura-Schüttung: T, Z, S, tiO ₂ , d | | |
| Thunersee-Schüttung: g, E | | Q/F = 0.60 (4 Proben) |
| Urlütschine-Schüttung: G, A, s | | Q/F = 1.01 (14 Proben) |
| Entlebuch-Schüttung: G, A, T, S', z | | Q/F = 5,46 (20 Proben) |

deshalb zum Schluss, die SM-Spektren von Wynau und Altishofen 1 seien durch eine Verfingerung der Genfersee-Schüttung mit der Thunersee-Schüttung (Epidot) zustande gekommen, indem die radiale Thunersee-Schüttung – sie ist in der Bohrung Linden 1 bereits aktiv – in das beckenaxial verlaufende Sammelstromrinnensystem mündete. Dadurch kam es zu einer Vermischung beider SM-Spektren. Im Untersuchungsgebiet nicht vorhanden, wohl aber in den Austrittsstellen in die flache Mittellandebene (vgl. Tab.8), sind die Urlütschine-Schüttung und die chattische Napf-Schüttung.

Mit dem Beginn des «Aquitanien» tritt eine vollständige Umgestaltung der distributiven Provinzen auf, die ihren Niederschlag in den Schwermineralen findet. So liefern alle Schüttungen vom «Aquitanien» an und bis ins «Tortonien» ein Epidotspektrum, wodurch die Möglichkeit einer Differenzierung wegfällt. Man dürfte jedoch mit der Annahme nicht weit fehlgehen, dass die grossen Flüsse zur Zeit des «Aquitanien» einem ähnlichen Lauf folgten wie im höheren «Chattien», dass aber in ihrem der Erosion offenstehenden Nährgebiet eine grundsätzliche Änderung eingetreten sein musste.

Im Gegensatz zu den Schwermineralen kann man in den jüngeren informalen Stufen aus dem Geröllbestand zwei Schüttungszyklen unterscheiden: einen ersten, charakterisiert durch eine granitische Vormacht an Geröllen an der Wende «Aquitanien»-«Burdigalien» und einen zweiten im «Helvétien» und im «Tortonien», dessen Gerölle hauptsächlich aus Gangquarzen, feinkörnigen Flyschsandsteinen und Sandsteinen bestehen.

LITERATURVERZEICHNIS

- ALTHAUS, H.E. (1947): Erdölgeologische Untersuchungen in der Schweiz. Beitr. Geol. Schweiz, geotech. Ser. 26/1.
- Büchi, U.P., & Schlanke, S. (1977): Zur Paläogeographie der Schweizerischen Molasse. Erdöl-Erdgas-Z. 93, 57-69 (Sonderausg. 1977).
- Erni, A., & Kelterborn, P. (1948): Erdölgeologische Untersuchungen in der Schweiz, II. Teil. Beitr. Geol. Schweiz, geotech. Ser. 26/2.
- FABER, E., & NOLLAU, W. (1969): Über Algorithmus zur mehrdimensionalen Diskriminanzanalyse. Schriftenr. Dtsch. Rechenzent. H.S-8, 1-51.
- Füchtbauer, H. (1964): Sedimentpetrographische Untersuchungen in der älteren Molasse nördlich der Alpen. Eclogae geol. Helv. 57/1, 157-298.
- GASSER, U. (1966): Sedimentologische Untersuchungen in der äusseren Zone der subalpinen Molasse des Entlebuchs (Kt. Luzern). Eclogae geol. Helv. 59/2, 723-772.
- (1968): Die innere Zone der subalpinen Molasse des Entlebuchs. Eclogae geol. Helv. 61/1, 229-319.
- GASSER, U., & NABHOLZ, W. (1969): Zur Sedimentologie der Sandfraktion im Pleistozän des schweizerischen Mittellandes. Eclogae geol. Helv. 62/2, 467-516.
- Geologische Generalkarte 1:200000, Blatt 2, Basel-Bern, 1942, Schweiz. geol. Komm.
- GERBER, Ed. (1950): Geologischer Atlas der Schweiz 1:25000, Atlasblatt 22 (Fraubrunnen-Wynigen-Hindelbank-Burgdorf), Erläuterungen (1950). Schweiz. geol. Komm.
- GERBER, M. Ed. (1982): Der Berner Sandstein. Das «Burdigalien» im Gebietsabschnitt zwischen Sense und Langeten. Diss. Univ. Bern.
- HAHN, CH. (1969): Mineralogisch-sedimentpetrographische Untersuchungen an den Flussbettsanden im Einzugsbereich des Alpenrheins. Eclogae geol. Helv. 62/1, 227-278.
- KOPP, J. (1952): Die Erdölbohrung Altishofen. Bull. Ver. schweiz. Petroleum-Geol. u. -Ing. 19, 21-24.
- (1955): Die Ergebnisse der Erdölbohrung Altishofen. Mitt. natf. Ges. Luzern 17.
- MATTER, A. (1964): Sedimentologische Untersuchungen im östlichen Napfgebiet. Eclogae geol. Helv. 57/2, 315-429.

- MAURER, H., FUNK, H.P., & NABHOLZ, W. (1978): Sedimentpetrographische Untersuchungen an Molasseabfolgen der Bohrung Linden 1 und ihrer Umgebung (Kt. Bern). – Eclogae geol. Helv. 71/3, 497-516.
- MAURER, H., & NABHOLZ, W. (1980): Sedimentpetrographie in der Molasse-Abfolge der Bohrung Romanens 1 und in der benachbarten subalpinen Molasse (Kt. Fribourg). Eclogae geol. Helv. 73/1, 205-222.
- Mc. Cammon, R.B. (1969): A primer on correlation. In: Models of geologic processes. AGI/CEGS short course lecture notes, Washington, D.C. 20037.
- SCHAFROTH, M. (1978): Statplot I. Inst. für math. Statistik und Versicherungslehre, Univ. Bern.
- Schlanke, S., Hauber, L., & Büchi, U.P. (1978): Lithostratigraphie und Sedimentpetrographie der Molasse in den Bohrungen Tschugg 1 und Ruppoldsried 1 (Berner Seeland). Eclogae geol. Helv. 71/2. 409-425.
- SCHWARZENBACH, G. (1960): Die komplexometrische Titration. Ferdinand Enke, Stuttgart.
- STURM, M., & MATTER, A. (1972): Sedimente und Sedimentationsvorgänge im Thunersee. Eclogae geol. Helv. 65/3, 563-590.
- Vonderschmitt, L., & Tschopp, H.J. (1953): Die Jura-Molasse-Grenze in der Bohrung Altishofen (Kt. Luzern). Bull. Ver. schweiz. Petroleum-Geol. u. -Ing. 20, 23-28.
- Walger, E. (1962): Die Korngrössenverteilung von Einzellagen sandiger Sedimente und ihre genetische Bedeutung. Geol. Rdsch. 51, 494-507.

